## 4) 細孔径分布測定(水銀圧入法)(試験④)

細孔径分布測定(水銀圧入法)は、日本コンクリート工学会「コンクリートの 試験・分析マニュアル」(2000 年 5 月)5.3.7 微構造/組織の分析、(3)空隙率、 細孔径分布の測定方法、F-3 水銀圧入法(p125)に準拠する。試験装置及び試験手順の詳細を以下に示す。

## (i) 試験装置

試験装置は、水銀圧入方式自動ポロシメータ(マイクロメリティックス社製) (写真9)を使用した。

本装置の低圧部では、試料の真空排気、試料セルへの水銀注入、窒素ガス圧による圧入測定が行われる。高圧部では、油圧による圧入測定が行われる。加圧によって細孔中に侵入した水銀の量(圧入量)は、試料容器内の水銀柱の変位から求められる。

この変位は、水銀と試料容器の管壁にある電極間の静電容量の変化から求める。 水銀圧入法では、水銀に加わる圧力は、水銀が侵入し得る細孔直径と反比例の 関係にあり、順次圧力を加えていけば、より小さい細孔にまで水銀が侵入するこ とになり、その細孔直径 は 2 種類の物性(表面張力と接触角)さえ既知であれば、 一般的に決定することができる。

つまり、圧力を変化させ、その際の水銀液面の変位を測定すれば、細孔分布を 得ることができる。



写真 9 細孔径分布測定(水銀圧入法)状況

# (ii) 試験手順

- (a) 試料の調整方法
- ① 試料を鉄乳鉢で粗粉砕し、網ふるいによってふるい分け、5~2.5mm に粒度調整を行った。
- ② ①の試料を真空凍結乾燥装置に投入し、1 週間以上 D-dry 法により乾燥させた。
- ③ ②の乾燥後、試験直前までデシケーター中に保存した。

## (b) 細孔径分布の測定

(a) の試料を採取・計量し、水銀圧入方式自動ポロシメータ(マイクロメリティックス社製)を用いて細孔径分布の測定を行った。

細孔径分布の測定は、1 試料につき 2 回測定した。

## (iii) 測定結果

細孔径分布測定結果は、表8及び次頁以降の図16および図17にそれぞれ示す。 また、細孔の分類および測定方法と関連するコンクリートの物性を図15に示す。

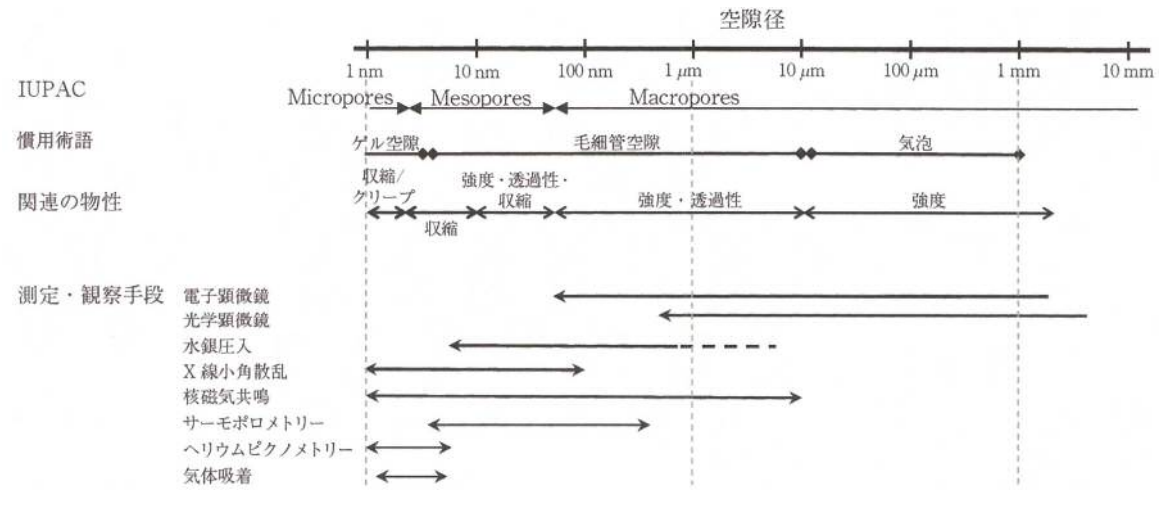


図15 細孔の分類および測定方法と関連するコンクリートの物性

本試験に使用した収縮低減剤は、毛細管張力を弱めることによりコンクリートの乾燥収縮を低減させる。

今回の分析結果からは、配合②および配合④は  $0.01 \mu m$  付近の細孔空隙が多いのに対して配合⑤は少ない。上図より、毛細管空隙は  $0.01 \mu m \sim 10 \mu m$  付近の空隙と考えられる。また、 $0.001 \mu m \sim 0.1 \mu m$  付近の空隙がコンクリートの収縮に作用することから、これは収縮低減剤の効果と推測される。

総細孔容積を比較した場合、配合②および配合⑤は同程度であるのに対して配合④は大きい。このことから、配合②および配合⑤は、膨張材と湿潤養生によりコンクリートの水密性が向上し、密実になったものと考えられる。

中心径を比較した場合、配合②<配合④<配合⑤の順で大きい。細孔分布曲線においては、配合②は小さい径のものが多く大きな径のものは少ない。また、細孔径量曲線においても配合②細孔容積の累計が最も小さい値で推移している。以上のことから、配合②が最もコンクリート内部の水の分散が少ないのではないかと推測される。

表 8 細孔径分布測定結果

試料名	総細孔容積 (× 0.01cm <sup>3</sup> /g)	比表面積 (m <sup>2</sup> /g)	平均径 ( μ m)	中心径 (μm)
配合②	7. 93	12. 77	0.0124	0. 0479
配合④	8. 89	14. 39	0.0124	0.0604
配合⑤	7.84	9. 58	0.0164	0. 0776

平均径および中心径は、細孔の半径を示す。

・配合② 「普通コンクリート+短繊維+収縮低減剤+膨張材」 初期湿布養生

・配合④ 「普通コンクリート+短繊維+収縮低減剤」

・配合⑤ 「普通コンクリート+短繊維+膨張材」

初期湿布養生

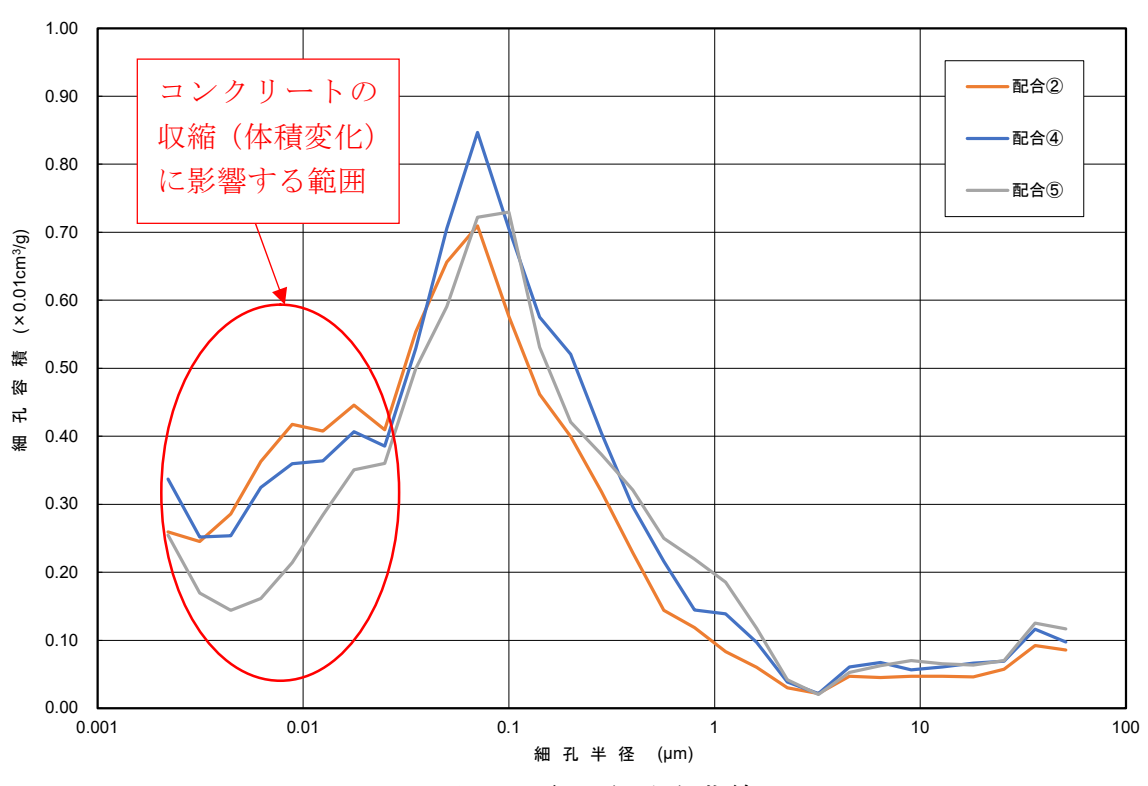


図16 細孔径分布曲線

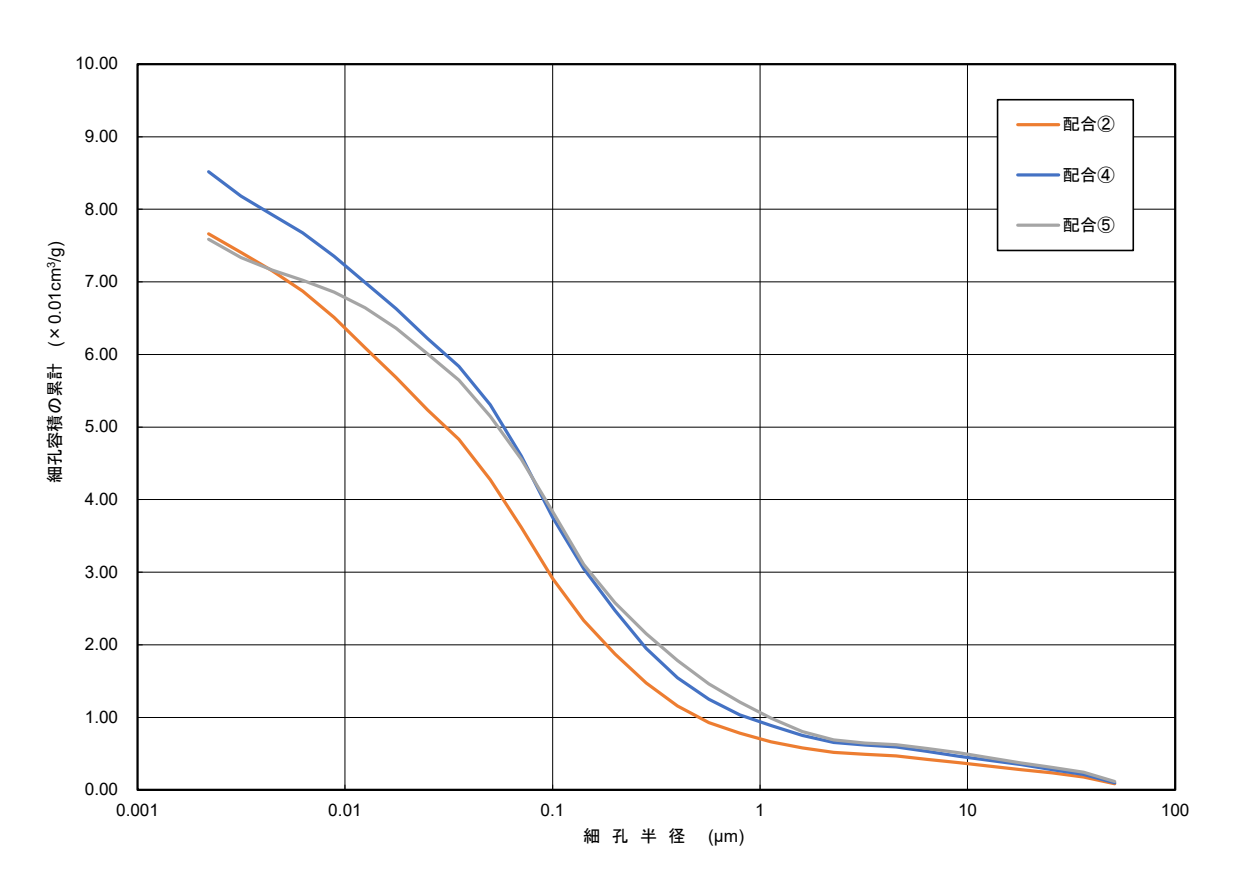


図17 積算細孔量曲線

- (2) 施工性能を考慮したコンクリートの開発
- (1)の配合③「中流動コンクリート+短繊維+収縮低減剤+膨張材」について、耐クラック性能を付与し、施工性能を考慮した乾燥収縮ひび割れの抑制効果を確認するため、以下の試験を実施した。

試験方法「コンクリート用膨張材」(JIS A 6202:2017)

附属書 B (参考) 膨張コンクリートの拘束膨張及び収縮試験方法における 「B 法 膨張及び収縮を対象とした試験方法」

1) 膨張コンクリートの拘束膨張および収縮試験

## (i) 試験概要

JIS A 6202:2017「コンクリート用膨張材」、附属書 B (参考) 膨張コンクリートの拘束膨張及び収縮試験方法における「B 法 膨張及び収縮を対象とした試験方法」によった。

基長の算出は次式により算出した。

$$X_0 = X_{01} - X_{02} \qquad \qquad \exists (6)$$

ここに、 $X_0$  : 基長 (mm)

Xo1: 基長測定時における標準器の測定値(mm)Xo2: 基長測定時における標準器具の測定値(mm)

材齢7日までは温度20±1℃の水中養生を行い、その後、温度20±2℃、相対湿度60±5%の恒温恒湿室内に静置し乾燥を開始した。

拘束膨張率の測定(写真 10)は、脱枠時、材齢2日および材齢7日とした。

長さ変化率の測定は、乾燥開始より1週、4週、8週、3ヶ月、6ヶ月、9か月、 12か月、とした。

拘束膨張率は次式により算出した。

$$L_r = \frac{X_0 - (Xi1 - Xi2)}{L} \qquad \vec{\pi} \quad (7)$$

ここに、 *Lr* : 長さ変化率【膨張率】(×10<sup>-6</sup>)

L: A法の場合は360(mm)、B法の場合は385(mm)

*X<sub>0</sub>* : 基長 (mm)

 $X_{ii}$  : 測長材齢 iにおける標準器の測定値(mm)  $X_{ii}$  : 測長材齢 iにおける供試体の測定値(mm)

長さ変化率は次式により算出した。

$$\varepsilon = \frac{(X_{01} - X_{02}) - (X_{i1} - X_{i2})}{L_0}$$
 \tag{\tau} (8)

- · ここに、 ε : 長さ変化率(×10<sup>-6</sup>)

*L*<sub>0</sub> : 基長

 $X_{01}$ 、 $X_{02}$  : それぞれ基準とした時点における標準尺および供試体

の測定値

 $X_{ii}$ 、 $X_{i2}$  : それぞれ時点 i における標準尺および供試体の測定値ただし、 $L_0$ 、 $X_{02}$ 、 $X_{ii}$ 、 $X_{i2}$ の長さの単位は、同一とする。



写真10 膨張コンクリートの拘束膨張および収縮試験状況

# (ii) 試験結果

拘束膨張および収縮試験結果を表 9 に、長さ変化率と材齢の関係を図 18 に示す。 試験結果より、配合③は打設後 7 日の間に適度に膨張していることが確認出来 る。これによりコンクリートの収縮が抑制されていることが確認された。

	20 137 Frag Style St O Delilla (Application ( ) 2 lb2)									
	標準養生	<b>E(水</b> 中	⊐ 20°C)		乾燥状態	態(温月	度 20℃、	相対湿	夏度 60%)	
   種別	脱枠時	材齢 2日	材齢 7日	1週	4週	8週	3ヶ月	6ヶ月	9ヶ月	12ヶ月
	長さ変	化率 (膨張) 長さ変化率 (収縮)								
					(×10	)-6)				
配合 ③	8	14	17	9	1	-6	-12	-18	-23	-24

表 9 拘束膨張および収縮試験結果(平均値)

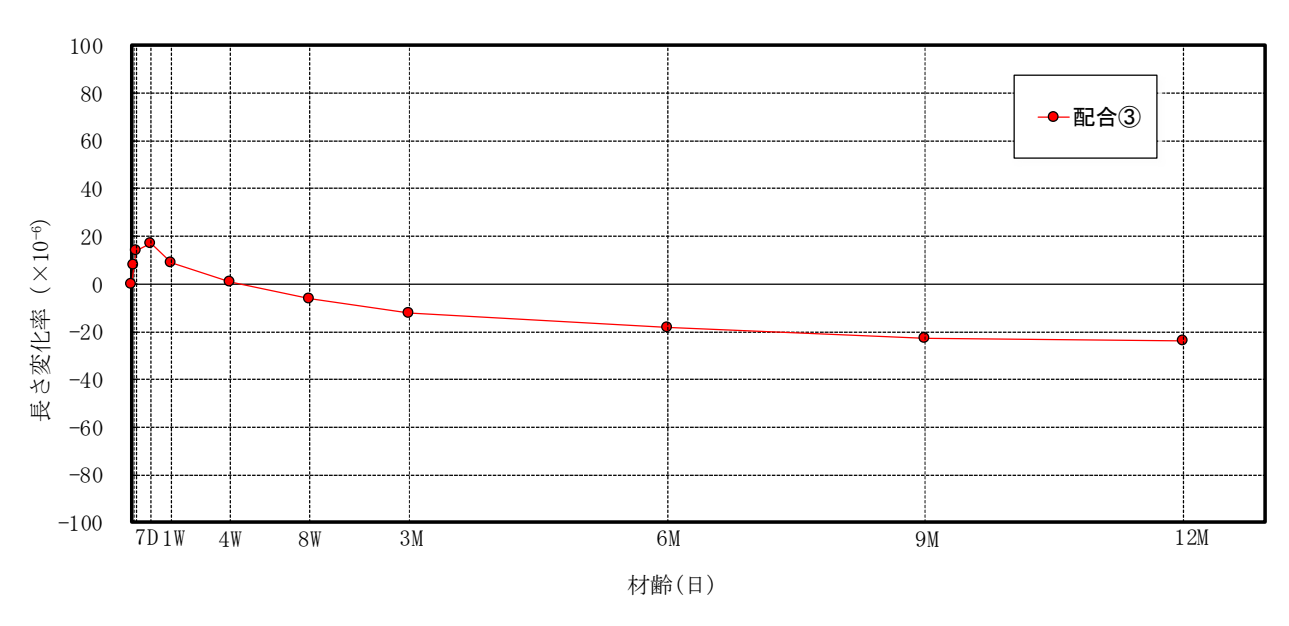


図18 長さ変化率と材齢の関係

#### (3) ひび割れ発生時期の推定式の検討

- 1) ひび割れ発生時期の推定方法
- (i) 200年後の乾燥収縮ひずみの推定

200年後の乾燥収縮ひび割れの発生時期の推定は、民間研究活動として令和元年度に実施したコンクリートの自由収縮試験(JIS A 1132)、拘束されたコンクリートのひび割れ試験(JIS A 1151)で得られた乾燥収縮ひずみの実測値と、推定式における 200 年後の乾燥収縮ひずみと比較した。

## (a) 供試体

## ア.配合

配合は、以下に示す3種類である。供試体数は各3本ずつである。

- ①普通コンクリート
- ②普通コンクリート+繊維B+膨張材 (EX) +収縮低減剤 (SRA)
- ③中流動コンクリート+繊維B+膨張材(EX)+収縮低減剤(SRA)

## イ. 供試体寸法

自由収縮ひずみ…100×100×400 mmの角柱供試体 拘束収縮ひずみ…250×1000×100 mmのダンベル供試体

#### ウ. 測定頻度

材齢7日までは温度20度、相対湿度60%の室内で湿布養生 材齢7日で脱型し、その後、温度20±2度、相対湿度60±5%の恒温恒湿室で乾燥開始

測定頻度: 乾燥開始7日(材齢14日)までは1日1回 乾燥開始28日(材齢35日)までは2日に1回

## (b) 検討に使用したデータ分類

各配合におけるコンクリート自由収縮ひずみとコンクリート拘束収縮ひずみの 実測期間を下表に示す。

配合分類配合内容自由収縮ひずみ拘束収縮ひずみ配合①普通コン乾燥日数 364 日までひび割れ発生日まで配合②普通コン+短繊維+EX+SRA乾燥日数 364 日まで乾燥日数 364 日まで配合③中流動コン+短繊維+EX+SRA乾燥日数 364 日まで乾燥日数 364 日まで

表10 各配合のひずみ実測期間

## (c) 乾燥収縮ひずみ推定検討に使用した推定式

本研究では、多数提案されている乾燥収縮ひずみ推定式のうち、代表的な以下の①~⑤の5つの推定式を用いる。併せて、本研究で得られた実測値を基に、最小二乗法によって求めた⑥指数関数フィッティング法による回帰式についてもひずみの推定に用いる。

- ①土木学会提案の最乾燥収縮ひずみ推定式:土木学会式
- ②建築学会提案の最終乾燥収縮ひずみ推定式:建築学会式
- ③桜田氏らによる提案式(改良建築学会式):改)建築学会式
- ④CEB モデル: CEB 式
- ⑤今本氏らによる提案式:外挿法(直角双曲線)
- ⑥指数関数フィッティング法による回帰式:回帰式

推定式は実測で得られたひずみ値を基に、最終乾燥収縮ひずみを求めるものが多い。ここでは、本研究が超長期の供用期間として、200 年に渡って耐クラック性能を有するコンクリート開発を目的としていることから、いずれも200年後の値を求めることとした。

表11 各推定式で求めるひずみ値

推定式	推定値
①土木学会式	式で求められる 200 年後の乾燥収縮ひずみ値
②建築学会式	式で求められる 200 年後の乾燥収縮ひずみ値
③改)建築学会式	式で求められる 200 年後の乾燥収縮ひずみ値
④CEB 式	式で求められる 200 年後の乾燥収縮ひずみ値
⑤外挿法	外挿法により求めた 200 年後の値
⑥回帰式	指数関数フィッティングで求めた 200 年後の値

# (d) ひずみ実測値

試験で得られた自由収縮ひずみ及び拘束収縮ひずみの実測値は、下表のとおりである。

表12 自由収縮ひずみ実測値

乾燥日数					コン	クリー	ト自由	収縮ひ	ずみ						
(目)			配合(	1)				配合(	2)				配合(	3)	
	No. 1	No. 2	No. 3	平均	標準偏差	No. 1	No. 2	No. 3	平均	標準偏差	No. 1	No. 2	No. 3	平均	標準偏差
0	0	0	0	0	0	0	0	0	0	0	0	0	0	0	0
1	-32	-21	-32	-28	5.19	14	12	13	13	0.82	5	-3	4	2	3.56
2	-53	-46	-60	-53	5.72	-3	-7		-3	3.27	-3	-19	-8	-10	6.68
3	-72	-73	-88	-78	7.32	-10	-34	-12	-19	10.87	-24	-35	-14	-24	8.58
4	-134	-123	-142		7.79	-28	-45	-25	-33	8.81	-33	-41	-34	-36	3.56
7	-161	-151	-164		5.56	-48	-61	-33	-47	11.44	-40	-43	-46	-43	2.45
8	-171	-168	-187		8.34	-57	-63	-47	-56	6.60	-52	-47	-50	-50	2.05
10	-206	-202	-222		8.64	-72	-83	-57	-71	10.66	-67	-73	-65	-68	3.40
13	-247	-239	-258		7.79	-87	-102	-69	-86	13.49	-74	-83	-68	-75	6.16
15	-274	-259	-282		9.53	-99	-107	-86	-97	8.65	-89	-103	-87	-93	7.12
17	-297	-282	-298		7.32	-101	-101	-93	-98	3.77	-104	-112		-104	6.13
20	-332		-334		10.40	-117	-127		-114	11.59	-107		-107		7.07
22	-357	-339	-363		10.20	-145	-151			9.74	-107		-124		11.15
24	-377	-352	-377		11.79	-137	-140			2.87	-124	-135	-123		5.44
27	-398	-379	-401		9.74	-158	-161			13.02	-138	-148	-139		4.50
29	-421	-404	-423		8.52	-167	-173			10.66	-158				4.50
31	-436	-417		-430	9.46	-163				13.91	-157		-157		5.66
36	-469	-443		-459	11.26	-184	-193			14.38	-163	-176	-162		6.38
38	-479	-463	-482		8.34	-181	-204			12.81	-178	-189	-178		5.19
48	-535	-514	-529		8.83	-226	-227	-203		11.09	-193	-206	-193		6.13
58	-589	-569	-578		8.18	-264	-264	-239		11.79	-239	-256	-239		8.01
78	-627	-610	-620		6.98	-312	-308	-286		11.43	-283	-307	-288		10.34
91	-648	-627	-637		8.58	-315	-327			12.33	-304		-301		6.48
112	-680	-660	-665		8.50	-348	-360	-328		13.20	-333	-350	-330		8.81
119	-695	-672	-678		9.74	-366	-367			10.14	-347	-359	-346		5.91
147	-709	-684		-692	11.79	-391	-395	-371		10.50	-374	-391	-367		10.08
175	-719	-697	-703		9.29	-407	-417	-387		12.47	-392	-411	-395		8.34
203	-756	-728	-729		12.97	-434	-444			14.72	-412	-441	-421		12.12
245	-746	-724 741	-725		10.14	-440	-458			13.89	-427	-446	-433		7.93
273	-772	-741 -748	-742 740		14.38	-459	-469	-438		12.92	-440	-457			8.52
311	-774 770		-749 740		12.03	-466	-478			13.20	-448	-467	-448		8.96
330	-770	-744 754	-749		11.26	-467	-477 400	-451		10.71	-459	-474	-458		7.32
364	-779	-154	-757	-163	11.15	-482	-488	-458	-4/6	12.96	-459	-484	-468	-4/0	10.34

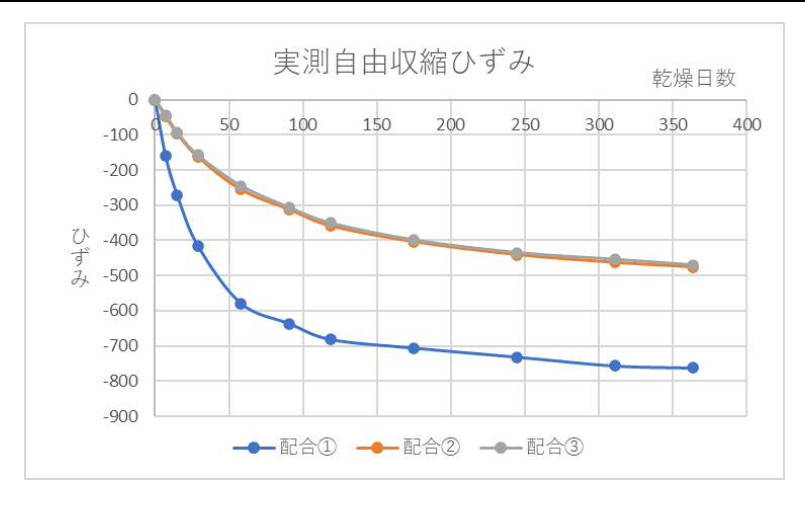
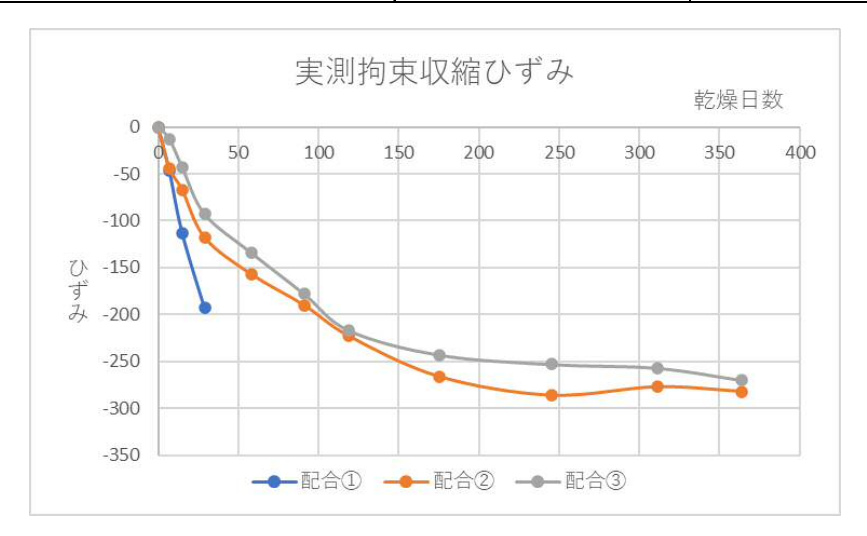


表13 拘束収縮ひずみ実測値

+6.18.57.44				=	コンクリー	- ト拘5	<b>東収縮</b> で	ひずみ	(×10	-6)					
乾燥日数 - (日)		酉	2合①					配合②	2)				配合③	3)	
(1)	No. 1	No. 2	No. 3	平均	標準偏差	No. 1	No. 2	No. 3	平均	標準偏差	No. 1	No. 2	No. 3	平均	標準偏差
0	0	0	0	0	0	0	0	0	0	0	0	0	0	0	0
1	-34	51	17	11	35	9	42	-17	11	24	23	43	7	24	15
2	-17	7	14	1	13	4	9	-24	-4	15	6	37	-13	10	21
3	-46	-25	-2	-24	18	1	44	-49	-1	38	0	10	-20	-3	12
4	-54	-38	-4	-32	21	12	44	-37	6	33	17	9	-10	5	11
7	-42	-63	-35	-47	12	-25	-5	-101	-44	41	-5	-21	-14	-13	7
8	-68	-46	-29	-48	16	2	3	-70	-22	34	-57	19	-33	-24	32
10	-77	-78	-51	-69	12	-24	10	-61	-25	29	-23	4	-25	-15	13
13	-111	-98	-68	-92	18	-47	-9	-87	-48	32	-38	-39	-26	-34	6
15	-126	-130	-84	-113	21	-61	-38	-103	-67	27	-44	-37	-48	-43	5
17	-144	-143	-104	-130	19	-64	-50	-115	-76	28	-64	-55	-72	-64	7
20	-163	-155	-107	-142	25	-68	-60	-124	-84	28	-59	-48	-66	-58	7
22	-172	-174	-112	-153	29	-69	-62	-122	-84	27	-58	-46	-90	-65	19
24	-180	-179	-134	-164	21	-91	-83	-142	-105	26	-82	-69	-79	-77	6
27	-174	-183	26日目ひび	-179	5	-84	-79	-125	-96	21	-71	-73	-89	-78	8
29	-194	-192		-193	1	-108	-102	-145	-118	19	-95	-85	-98	-93	6
31	-189	-191		-190	1	-95	-81	-131	-102	21	-98	-76	-93	-89	9
36	-194	32日目ひび		-194	0	-122	-101	-148	-124	19	-101	-85	-114	-100	12
38	-184			-184	0	-117	-98	-153	-123	23	-103	-94	-100	-99	4
48	42日目ひび					-123	-108	-144	-125	15	-114	-97	-112	-108	8
58						-147	-143	-181	-157	17	-143	-126	-133	-134	7
78						-183	-164	-213	-187	20	-179	-158	-173	-170	9
91						-190	-162	-217	-190	22	-179	-163	-193	-178	12
112						-212	-174	-242	-209	28	-213	-198	-214	-208	7
119						-208	-213	-247	-223	17	-221	-205	-224	-217	8
147						-236	-213	-242	-230	12	-213	-202	-223	-213	9
175						-257	-261	-281	-266	10	-255	-228	-246	-243	11
203						-285	-276	-292	-284	7	-249	-232	-277	-253	19
245						-288	-267	-304	-286	15	-247	-243	-269	-253	11
273						-297	-277	-305	-293	12	-260	-254	-294	-269	18
311						-282	-258	-292	-277	14	-245	-256	-269	-257	10
330						-284	-257	-305	-282	20	-233	-259	-283	-258	20
364						-286	-257	-302	-282	19	-246	-270	-293	-270	19



## (e) 各推定式による乾燥収縮ひずみの推定

#### ア. 自由収縮ひずみ

配合①②③の推定ひずみ値は、以下のとおりであり、配合②③は配合①より小さい値を示している。

配合①「普通コンクリート」 推定ひずみ値=-810~-860 (×10<sup>-6</sup>)

配合②「普通コンクリート+混和材」 推定ひずみ値=-500~-540 (×10<sup>-6</sup>)

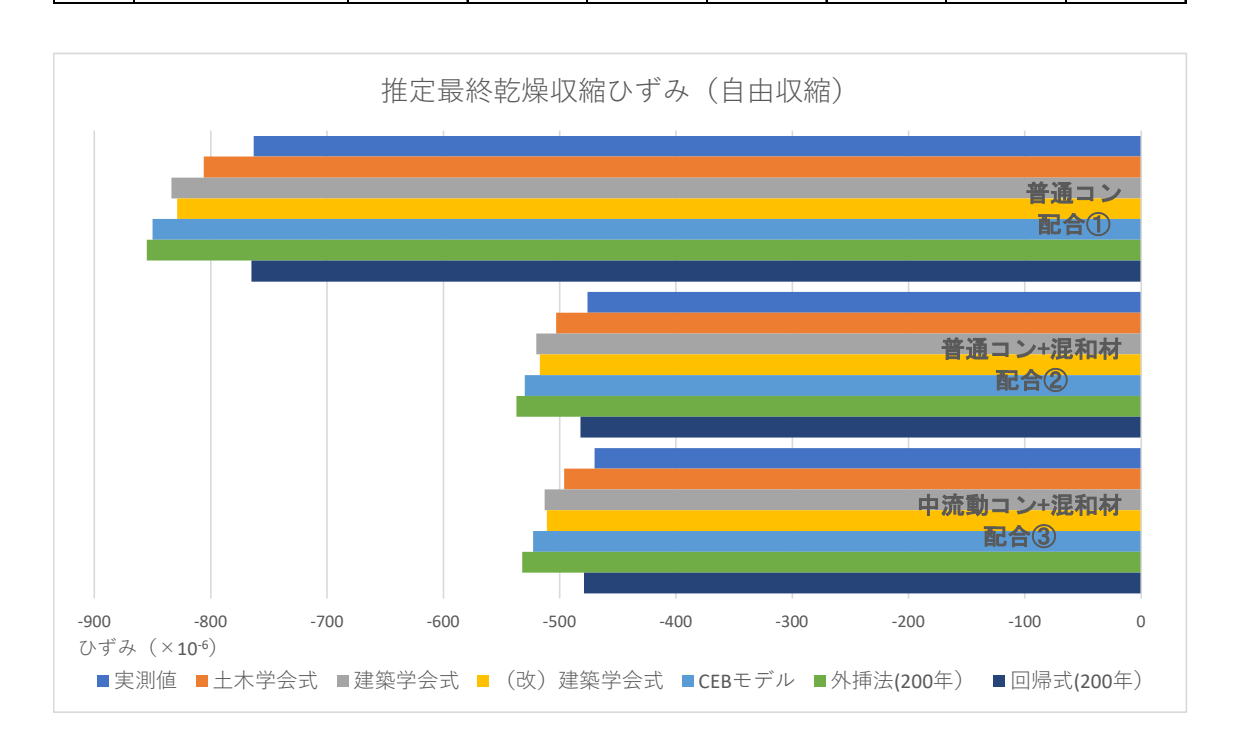
配合③「中流動コンクリート+混和材」 推定ひずみ値= $-500\sim-530$  ( $\times10^{-6}$ )

これは、膨張材(EX)+収縮低減剤(SRA)を配合したことで乾燥収縮量が小さくなっている影響と見られる。

各推定式の推定ひずみ値を低い順で見ると、「回帰式」、「土木学会式」、「(改)建築学会式」、「建築学会式」、「CEB モデル」、「外挿法」の順となる。回帰式は乾燥日数364日時点の実測値からのひずみ値の増加が-10(×10<sup>-6</sup>)以下と極めて小さい結果となった。その他推定式は、更に乾燥が進むと実測値から-30~-90(×10<sup>-6</sup>)程度のひずみ値の上昇が推定できる。

	2(11	200   汉、	· > +u/>K·/V		(DH·K)	пп О ) •/	/			
	#7. <b>△</b>	自由収縮ひずみ(×10 <sup>-6</sup> )								
配合		実測値	土木学会式	建築学会式	(改)建築学会式	CEBモデル	外挿法(200年)	回帰式(200年)		
配合①	普通コン	-763	-806	-834	-829	-850	-855	-765		
配合②	普通コン+混和材	-476	-503	-520	-517	-530	-537	-482		
配合③	中流動コン+混和材	-470	-496	-513	-511	-523	-532	-479		

表14 200年後の乾燥収縮ひずみ(自由収縮ひずみ)



## イ. 拘束収縮ひずみ

拘束収縮ひずみは配合①が早期にひび割れが発生したため、配合②及び③の結果を整理した。配合②③の推定ひずみ値は、以下のとおりである。

配合②「普通コンクリート+混和材」 推定ひずみ値= $-300\sim-370$ ( $\times10^{-6}$ )配合③「中流動コンクリート+混和材」 推定ひずみ値= $-290\sim-340$ ( $\times10^{-6}$ )

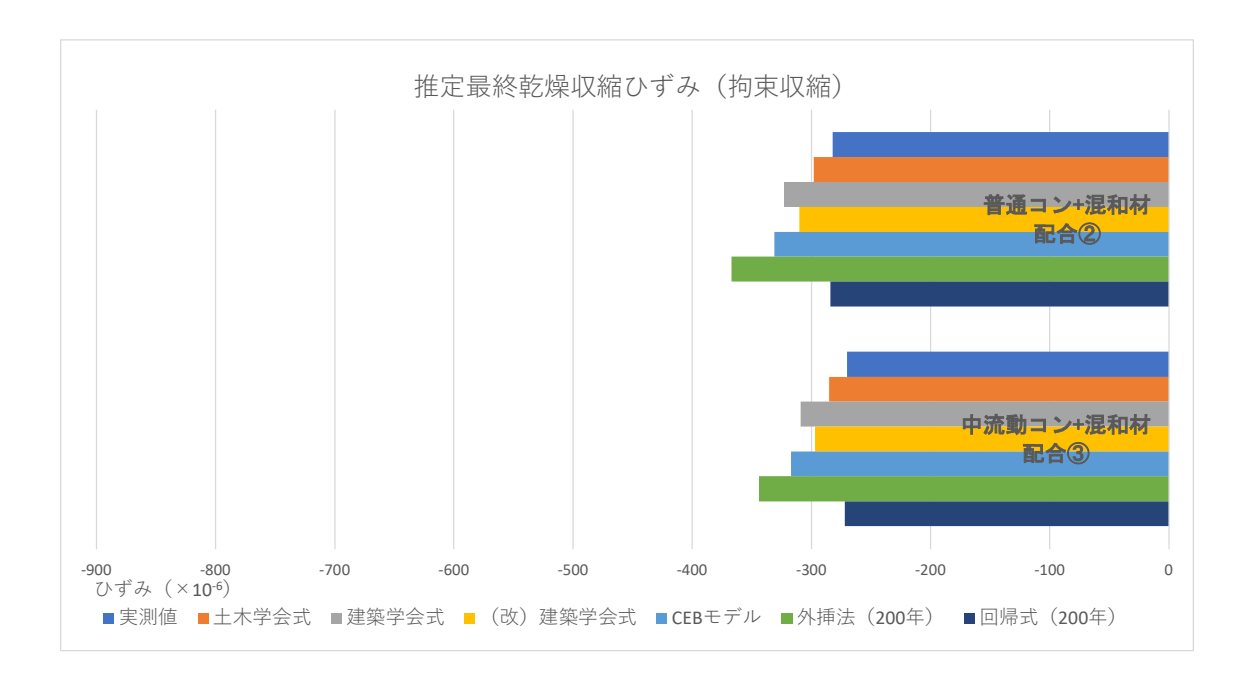
配合②及び配合③を比較すると、配合③の実測ひずみ値が小さかったために 推定ひずみ値もわずかに小さい傾向となっている。

各推定式の推定ひずみ値の傾向は、自由収縮ひずみと同様に、「回帰式」、「土木学会式」、「(改) 建築学会式」、「建築学会式」、「CEB モデル」、「外挿法」の順で大きくなっていく。

実測値からさらに乾燥が進むと $-2\sim-80$ ( $\times10^{-6}$ )程度のひずみ値の上昇が推定される。

	配合		拘束収縮ひずみ(×10 <sup>-6</sup> )							
	AC. C.	実測値	土木学会式	建築学会式	(改)建築学会式	CEBモデル	外挿法(200年)	回帰式 (200年)		
配合②	普通コン+混和材	-282	-298	-323	-310	-331	-367	-284		
配合③	中流動コン+混和材	-270	-285	-309	-297	-317	-344	-272		

表15 乾燥収縮ひずみ(拘束収縮ひずみ)



## (f) 乾燥ひずみ推定値の乾燥日数別の推移

#### ア. 自由収縮ひずみ

「土木学会式」「建築学会式」「(改) 建築学会式」「CEB モデル」で求めた値は、乾燥日数におけるその時点の推定値の推移とした。

「外挿法」は、364 日間の乾燥日数の CBE モデルの算出推定乾燥収縮ひずみ値を用いて、直角双曲線グラフの係数を算出して作成したグラフ値で、他の算定方式と異なる。

各推定式とも配合①、配合②、配合③において、乾燥日数が進むごとのひず みの推移は概ね同様の変化傾向を示しており、自由収縮ひずみの推定において、 各推定式による差はほとんど見られない。

配合①の「普通コンクリート」は、各推定式のひずみ値が乾燥日数 50 日程度で概ね収束しているのに対して、配合②及び配合③は収束までの乾燥日数は 175 日程度要している。これは、配合②及び③が配合①に比べてひずみ実測値が緩やかに上昇を続けているためであり、膨張材 (EX) 及び収縮低減剤 (SRA) を配合したコンクリートの乾燥収縮ひずみを精度よく推定するためには、少なくとも半年程度はひずみ値の実測が必要と考えられる。

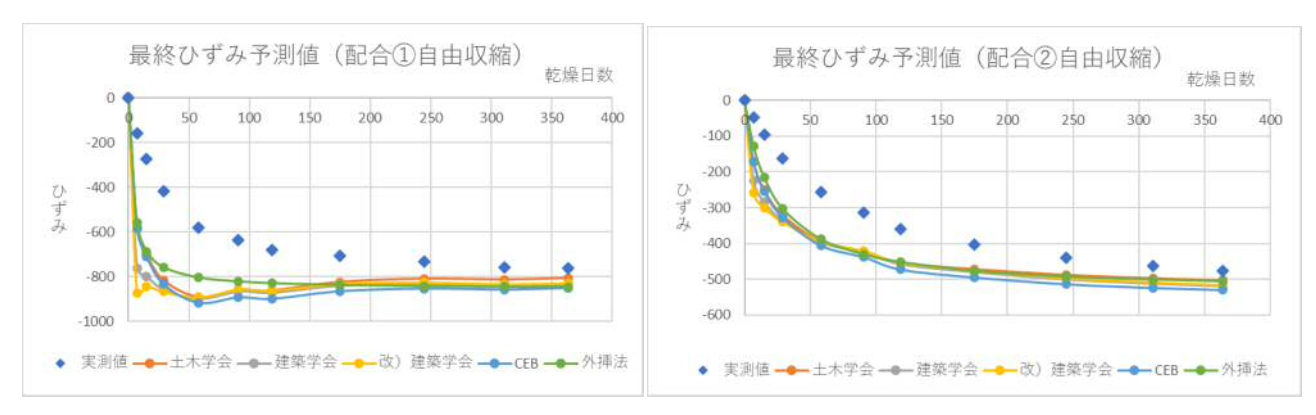


図19 乾燥収縮ひずみ(自由収縮ひずみ)推定値(左:配合①、右:配合②)

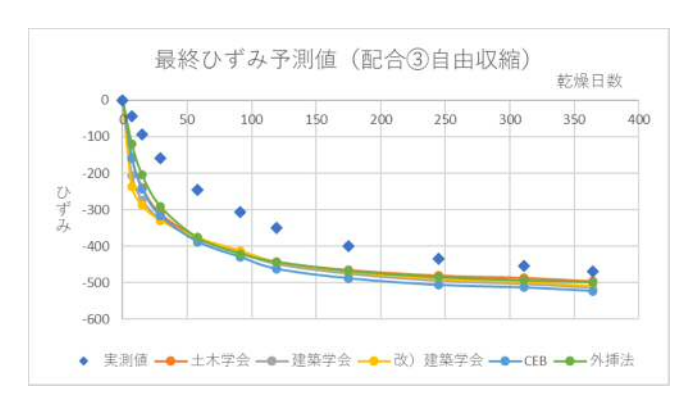


図 20 乾燥収縮ひずみ(自由収縮ひずみ)推定値(配合③)

## イ. 拘束収縮ひずみ

拘束収縮ひずみにおける推定値においては、自由収縮ひずみよりも各推定式でばらつきが見られ、「土木学会式」が小さい値を示し、「CEB モデル」と「外挿法」が若干大きい値を示している。

「土木学会式」と「CEB モデル」との乾燥日数 364 日における推定収縮ひずみ値の差は、配合②の場合、33  $(×10^{-6})$ 、配合③の場合 32  $(×10^{-6})$  程度となっている。各推定式のひずみ値が収束するまで、配合②及び配合③は乾燥日数 150 日程度を要している。

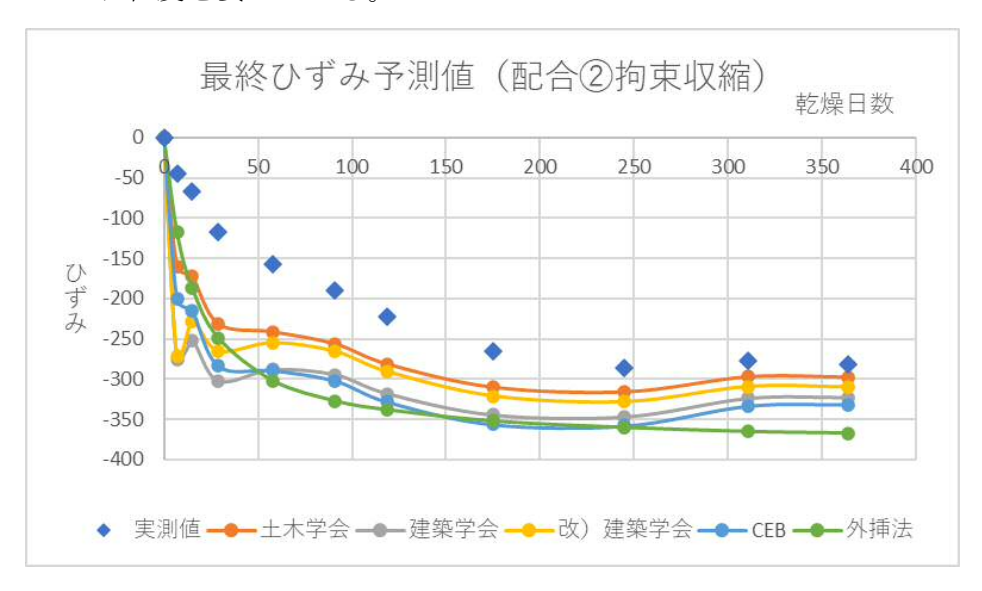


図21 乾燥収縮ひずみ(拘束収縮ひずみ)推定値(配合②)

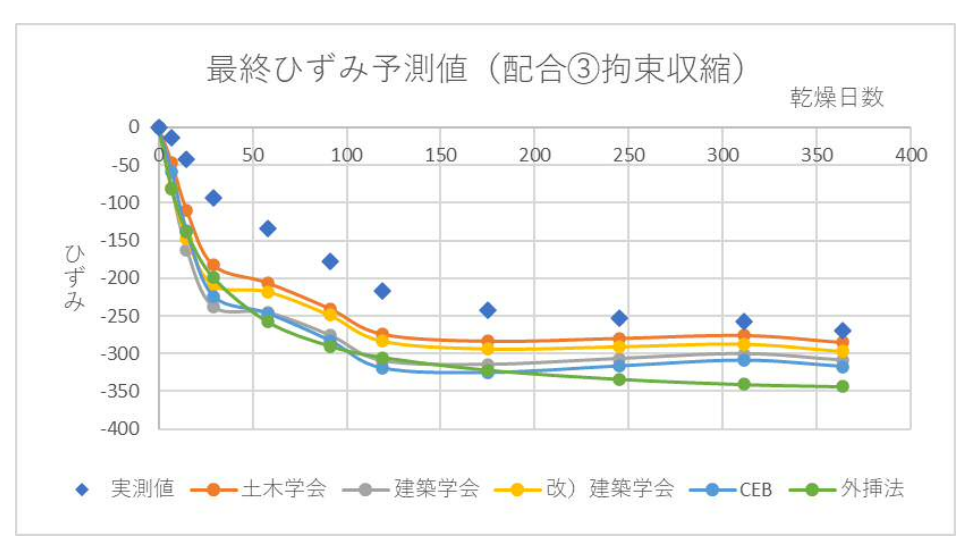


図22 乾燥収縮ひずみ(拘束収縮ひずみ)推定値(配合③)

表16 乾燥収縮ひずみ(自由収縮ひずみ)の推定値推移(配合①)

乾燥日数		自	由収縮ひず	み (×10-	5)	
松林口奴	実測値	土木学会	建築学会	改) 建築学会	CEB	外挿法
0	0	0	0	0	0	0
7	-159	-579	-762	-873	-584	-560
15	-272	-700	-798	-842	-711	-686
29	-416	-817	-857	-867	-834	-758
58	-579	-891	-899	-893	-917	-804
91	-637	-860	-866	-857	-892	-821
119	-682	-861	-871	-862	-898	-829
175	-706	-823	-840	-833	-865	-837
245	-732	-809	-832	-826	-853	-842
311	-757	-812	-839	-834	-857	-845
364	-763	-806	-834	-829	-850	-846

表17 乾燥収縮ひずみ(自由収縮ひずみ)の推定値推移(配合②)

乾燥日数		自	由収縮ひず	み (×10	<sup>6</sup> )	
北林口奴	実測値	土木学会	建築学会	改) 建築学会	CEB	外挿法
0	0	0	0	0	0	0
7	-47	-171	-225	-258	-173	-128
15	-97	-250	-285	-300	-254	-215
29	-163	-320	-336	-340	-327	-303
58	-256	-394	-398	-395	-405	-388
91	-313	-422	-425	-421	-438	-431
119	-359	-453	-458	-454	-473	-452
175	-404	-471	-481	-477	-495	-477
245	-441	-487	-501	-498	-514	-493
311	-463	-497	-513	-510	-524	-501
364	-476	-503	-520	-517	-530	-506

表18 乾燥収縮ひずみ(自由収縮ひずみ)の推定値推移(配合③)

乾燥日数		自	由収縮ひず	み (×10	5)	
松林口奴	実測値	土木学会	建築学会	改) 建築学会	CEB	外挿法
0	0	0	0	0	0	0
7	-43	-157	-206	-236	-158	-120
15	-93	-239	-273	-288	-243	-205
29	-158	-310	-326	-329	-317	-291
58	-245	-377	-381	-378	-388	-377
91	-307	-414	-417	-413	-430	-421
119	-351	-443	-448	-444	-462	-443
175	-399	-465	-475	-471	-489	-468
245	-435	-481	-494	-491	-507	-485
311	-454	-487	-503	-500	-514	-494
364	-470	-496	-513	-511	-523	-499

表19 乾燥収縮ひずみ(拘束収縮ひずみ)の推定値推移(配合②)

乾燥日数		拘	束収縮ひず	み (×10 <sup>-6</sup>	<sup>5</sup> )	
和外口数	実測値	土木学会	建築学会	改) 建築学会	CEB	外挿法
0	0	0	0	0	0	0
7	-44	-160	-275	-272	-201	-118
15	-67	-172	-253	-229	-215	-187
29	-118	-232	-302	-266	-284	-249
58	-157	-242	-288	-255	-289	-302
91	-190	-256	-294	-266	-302	-327
119	-223	-282	-318	-291	-328	-338
175	-266	-310	-345	-321	-356	-352
245	-286	-316	-347	-328	-358	-360
311	-277	-297	-324	-309	-333	-365
364	-282	-298	-323	-310	-331	-367

表20 乾燥収縮ひずみ(拘束収縮ひずみ)の推定値推移(配合③)

乾燥日数		拘	束収縮ひず	み (×10-6	<sup>5</sup> )	
和林口奴	実測値	土木学会	建築学会	改) 建築学会	CEB	外挿法
0	0	0	0	0	0	0
7	-13	-47	-81	-80	-59	-82
15	-43	-111	-162	-147	-138	-139
29	-93	-183	-238	-209	-224	-199
58	-134	-206	-246	-218	-247	-258
91	-178	-240	-276	-249	-283	-290
119	-217	-274	-310	-283	-319	-305
175	-243	-283	-315	-293	-325	-322
245	-253	-280	-307	-290	-317	-334
311	-257	-276	-300	-287	-309	-341
364	-270	-285	-309	-297	-317	-344

表 21 各推定式における乾燥収縮ひずみ計算表

コンクリート自由収縮ひずみ(×10-6)

記号	項目	単位	普通	普通+短繊維	中+短繊維
I	単位水量	kg/m3	175	175	175
;	単位セメント量	kg/m3	270	270	270
ì	単位骨材量	kg/m3	1, 819	1803	1802
	材齢	田	371	371	371
:0	乾燥開始齢	П	7	7	7
S	乾燥日数	田	364	364	364
1	体積	mm3	4, 000, 000	4, 000, 000	4, 000, 000
3	表面積	mm2	180, 000	180, 000	180, 000
<b>1/</b> S	体積表面積比	mm	22. 22	22. 22	22. 22
ıc	断面積	mm2	10, 000	10, 000	10, 000
I	周長	mm	400	400	400
)	仮想厚さ	mm	50	50	50
εsh	乾燥収縮ひずみ		-763	-476	-470
εsh∞	ひずみ最終値		-806	-503	-496
εsh∞	ひずみ最終値		-834	-520	-513
εsh∞	ひずみ最終値		-829	-517	-511
εsh∞	ひずみ最終値		-850	-530	-523
	200年後ひずみ予測値		-855	-537	-532
	200年後ひずみ予測値		-765	-482	-479
(i)	0 s s /S c s h c s h ∞ c s h ∞ c s h ∞	単位水量 単位セメント量 単位骨材量 材齢 の 乾燥開始齢 s 乾燥日数 体積 表面積 /S 体積表面積比 C 断面積 周長 仮想厚さ sh ・ がみ最終値 に対かる最終値 に対かる最終値 に対かるようないずみ最終値 に対していずみ最終値 に対かるようないずみ最終値 に対していずみ最終値 に対していずみ最終値 に対していずみ最終値 に対していずみ最終値 に対していずみ最終値 に対していずみ最終値 に対していずみるようないずみ予測値	単位水量 kg/m3 単位セメント量 kg/m3 単位日材量 kg/m3 単位日材量 kg/m3 材齢 日 の 乾燥開始齢 日 s 乾燥日数 日 体積 mm3 表面積 mm2 /S 体積表面積比 mm C 断面積 mm2 周長 mm がおりますがある。 まらいである。これがなる。これがなる。これがなる。これがなる。これがなる。これがなる。これがなる。これがなる。これがなる。これがなる。これがなる。これがなる。これがなる。これがなる。これがなる。これがなる。これがなる。こ	単位水量 kg/m3 175 単位セメント量 kg/m3 270 単位骨材量 kg/m3 1,819 材齢 日 371 の 乾燥開始齢 日 7 s 乾燥日数 日 364 体積 mm3 4,000,000 表面積 mm2 180,000 /S 体積表面積比 mm 22.22 c 断面積 mm2 10,000 周長 mm 400 仮想厚さ mm 50 に sh 乾燥収縮ひずみ -763 に sh ひずみ最終値 -806 に sh ひずみ最終値 -834 に sh ひずみ最終値 -829	単位水量 kg/m3 175 175 175 単位セメント量 kg/m3 270 270 270 1803 1,819 1803 1,819 1803 71 371 371 371 371 371 371 371 371 371

# 拘束収縮ひずみ(×10-6)

	記号	項目	単位	普通	普通+短繊維	中+短繊維
	W	単位水量	kg/m3	175	175	175
C		単位セメント量	kg/m3	270	270	270
	G	単位骨材量	kg/m3	1, 819	1803	1802
	t	材齢	日	31	371	371
	t0	乾燥開始齢	田	7	7	7
	ts	乾燥日数	日	24	364	364
	٧	体積	mm3	15, 980, 000	15, 980, 000	15, 980, 000
	S	表面積	mm2	541, 600	541, 600	541, 600
	V/S	体積表面積比	mm	29. 51	29. 51	29. 51
	Ac	断面積	mm2	17, 000	17, 000	17, 000
	u	周長	mm	540	540	540
	D	仮想厚さ	mm	63. 0	63. 0	63.0
	arepsilon sh	乾燥収縮ひずみ		-164	-282	-270
土木学会	εsh∞	ひずみ最終値			-298	-285
建築学会	ε sh∞	ひずみ最終値			-323	-309
改)建築学会	εsh∞	ひずみ最終値			-310	-297
CEB	ε sh∞	ひずみ最終値			-331	-317
外挿法		200年後ひずみ予測値			-367	-344
回帰式		200年後ひずみ予測値			-284	-272

# (g) ひび割れ推定式の概要 各推定式の概要を以下に示す。

# 《①土木学会式》

 $\varepsilon_{sh}(t,t_0) = \left[1-\exp\left\{-0.108(t-t_0)^{0.56}\right\}\right]\varepsilon_{sh\infty}$ 

ε<sub>sh</sub>(t,t<sub>0</sub>): 乾燥収縮ひずみ

t: 材令(日)

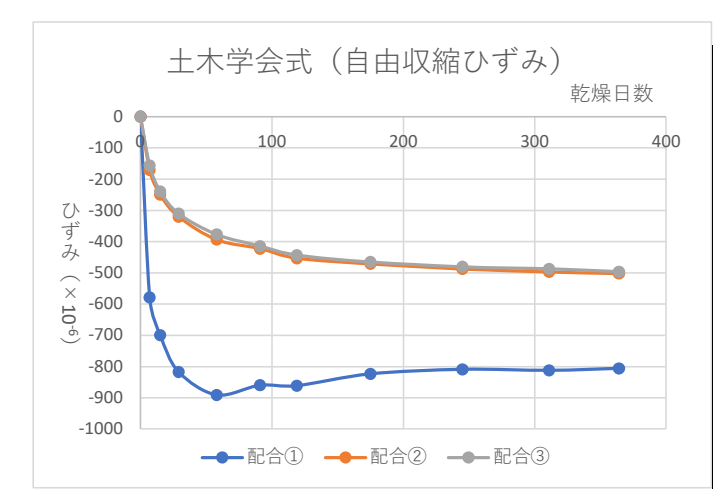
 $t_0$ : 乾燥開始材齢(日) W: 単位水量( $kg/m^3$ )

C : 単位セメント量 (kg/m³)G : 単位骨材量 (kg/m³)

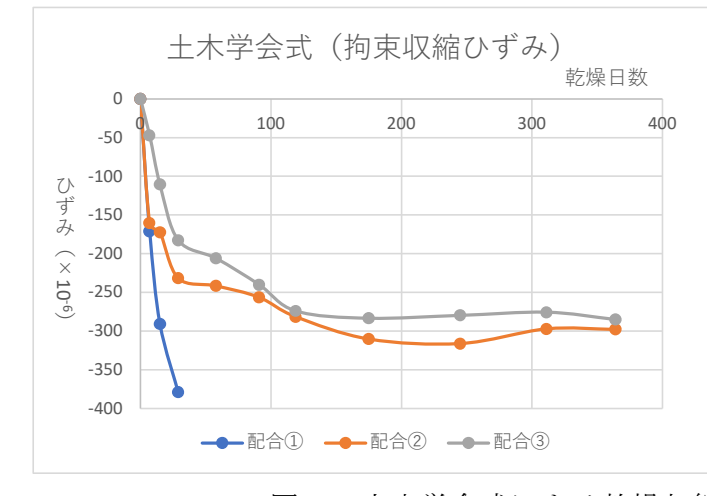
h :相対湿度(%) V:体積 (mm³)

S: 外気に接する表面積 (mm²)

V/S:体積表面積比 (mm)



乾燥日数	自由収縮ひずみ(×10 <sup>-6</sup> )				
和外口奴	配合①	配合②	配合③		
0	0	0	0		
7	-579	-171	-157		
15	-700	-250	-239		
29	-817	-320	-310		
58	-891	-394	-377		
91	-860	-422	-414		
119	-861	-453	-443		
175	-823	-471	-465		
245	-809	-487	-481		
311	-812	-497	-487		
364	-806	-503	-496		



乾燥日数	拘束収縮ひずみ(×10 <sup>-6</sup> )				
和外口外	配合①	配合②	配合③		
0	0	0	0		
7	-171	-160	-47		
15	-291	-172	-111		
29	-379	-232	-183		
58		-242	-206		
91		-256	-240		
119		-282	-274		
175		-310	-283		
245		-316	-280		
311		-297	-276		
364		-298	-285		

図23 土木学会式による乾燥収縮ひずみ

# 《②建築学会式》

$$\varepsilon_{sh\infty} = \frac{\varepsilon_{sh}(t_s)}{\left(\frac{t_s}{0.16(V/S)^{1.8} + t_s}\right)^{1.4(V/S)^{-0.18}}}$$

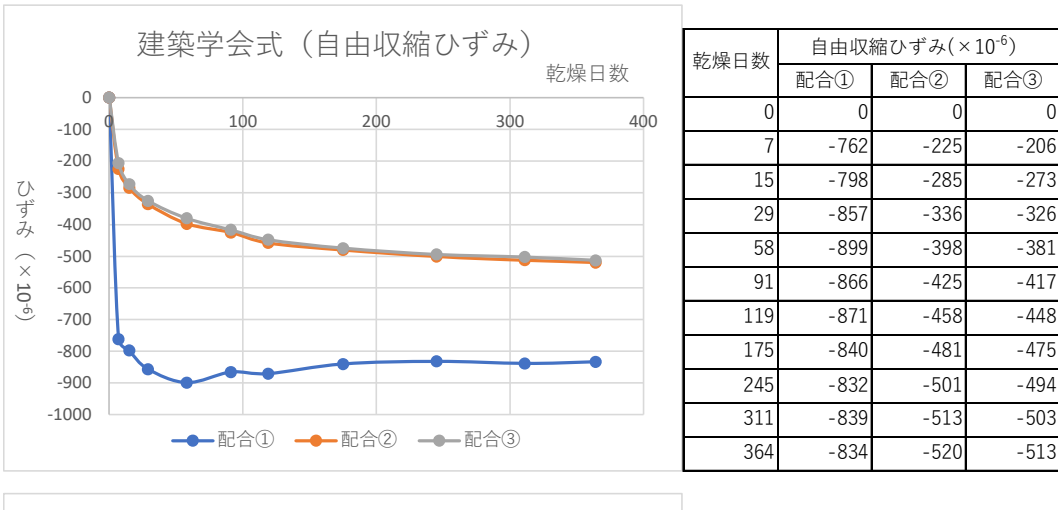
**ε₅₂₂**: 最終乾燥収縮ひずみ (短期の乾燥収縮試験の実測値から算出する場合)

 $\varepsilon_{sh}(t_s): t_s$ における乾燥収縮ひずみの実測値、

t。: 乾燥期間(=t-to)

V:体積 (mm³)

S: 外気に接する表面積 (mm²)



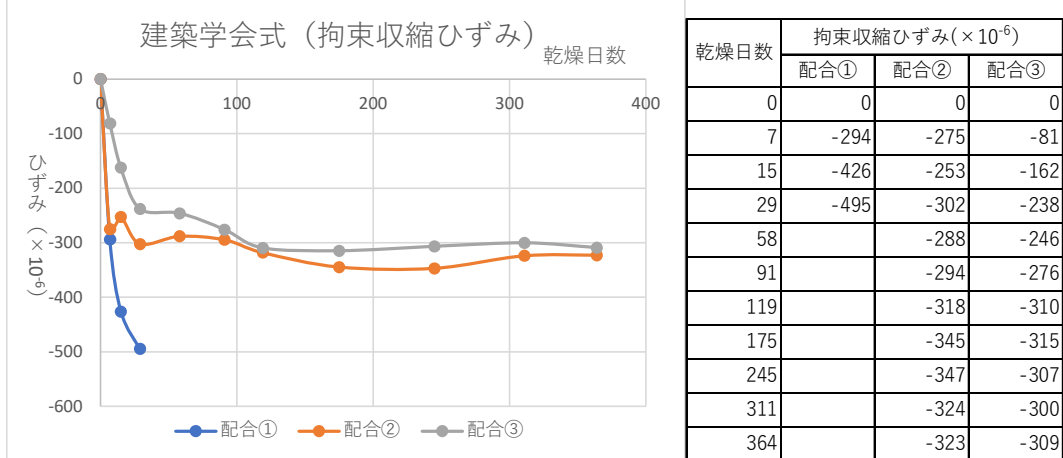


図24 建築学会式による乾燥収縮ひずみ

# 《③桜田らによる提案式 (建築学会式 (改))》

(桜田道博,川端智亮,鈴木雅博,太田高史:コンクリート標準示方書に基づいた乾燥収縮ひずみの早期判定方法,株式会社ピーエス三菱,技報第8号,2010)

$$\varepsilon_{ds\infty} = \frac{\varepsilon_{ds}(t_s) \cdot \left[ \frac{4 \cdot W \cdot \sqrt{V/S}}{100 + 0.7 \cdot t_0} + t_s \right]}{t_s}$$

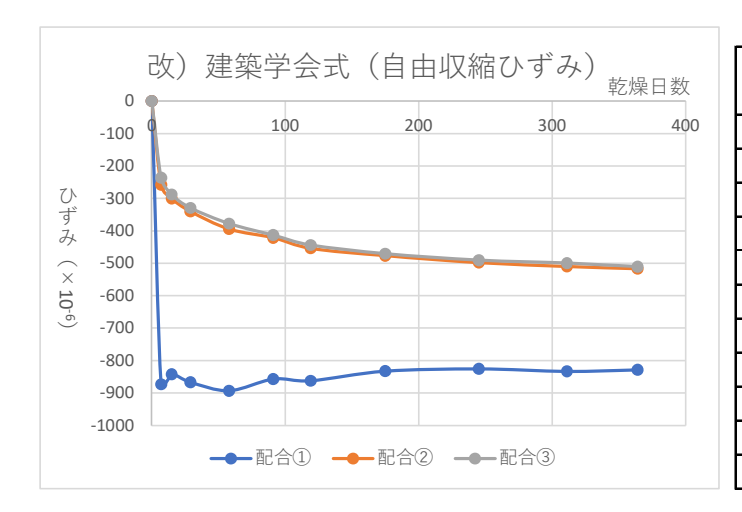
₹dhoo: 最終乾燥収縮ひずみ (短期の乾燥収縮試験の実測値から算出する場合)

 $\mathcal{E}_{ds}(t_s): t_s$ における乾燥収縮ひずみの実測値、

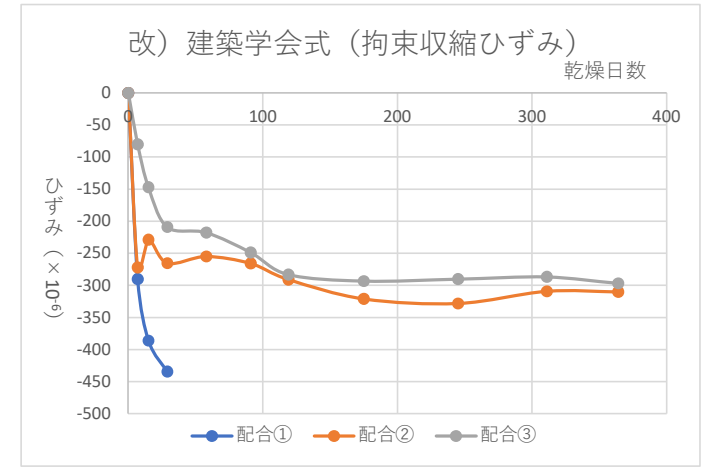
t<sub>s</sub>: 乾燥期間(=t-t<sub>0</sub>)

V:体積 (mm³)

5: 外気に接する表面積 (mm²)



乾燥日数	自由収縮ひずみ(×10 <sup>-6</sup> )					
+6/x H XX	配合①	配合②	配合③			
0	0	0	0			
7	-873	-258	-236			
15	-842	-300	-288			
29	-867	-340	-329			
58	-893	-395	-378			
91	-857	-421	-413			
119	-862	-454	-444			
175	-833	-477	-471			
245	-826	-498	-491			
311	-834	-510	-500			
364	-829	-517	-511			



乾燥日数	拘束収縮ひずみ(×10 <sup>-6</sup> )					
和林口奴	配合①	配合②	配合③			
0	0	0	0			
7	-290	-272	-80			
15	-386	-229	-147			
29	-434	-266	-209			
58		-255	-218			
91		-266	-249			
119		-291	-283			
175		-321	-293			
245		-328	-290			
311		-309	-287			
364		-310	-297			

図25 建築学会式(改)による乾燥収縮ひずみ

# 《④CEB 式》

$$\varepsilon_{sh}(t,t_0) = \varepsilon_{sh\infty} \cdot \beta_s(t-t_0)$$

$$\beta_s(t-t_0) = [(t-t_0)/(0.035 D^2 + (t-t_0))]^{0.5}$$

 $\varepsilon_{sh}(t,t_0)$ : 乾燥収縮ひずみ

 $\varepsilon_{sh\infty}$ : 乾燥収縮ひずみの最終値

 $\beta_s(t-t_0)$ : 乾燥収縮ひずみ経時変化特性を表す項

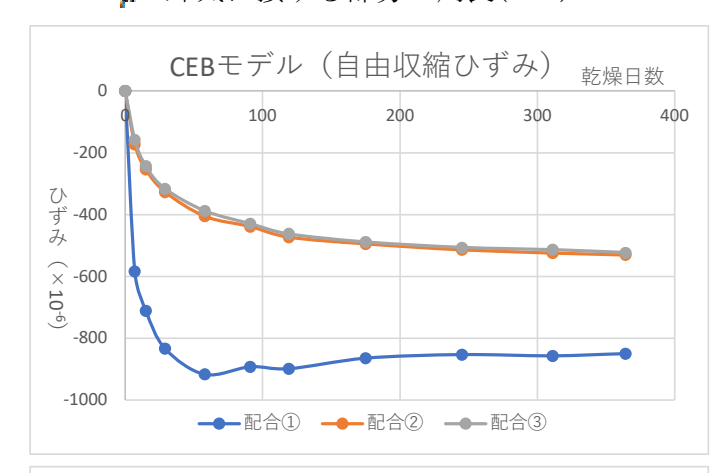
**t**:材齢(日)

to: 乾燥開始材齢(日)

D: 部材の仮想厚さ ,  $D = 2 A_a/\mu(mm)$ 

Ac: 部材の断面積(mm²)

#: 外気に接する部分の周長(mm)



乾燥日数	自由収縮ひずみ(×10 <sup>-6</sup> )						
和林口奴	配合①	配合②	配合③				
0	0	0	0				
7	-584	-173	-158				
15	-711	-254	-243				
29	-834	-327	-317				
58	-917	-405	-388				
91	-892	-438	-430				
119	-898	-473	-462				
175	-865	-495	-489				
245	-853	-514	-507				
311	-857	-524	-514				
364	-850	-530	-523				



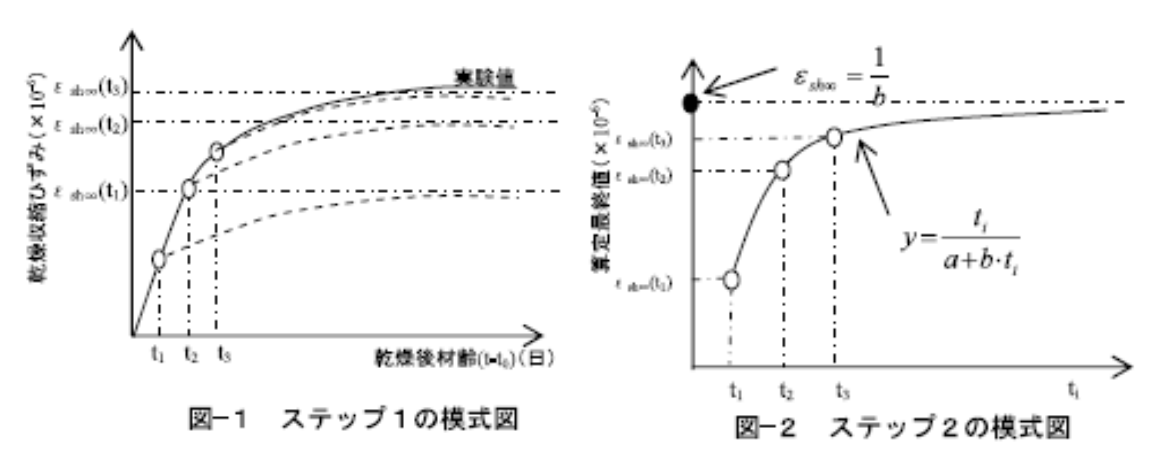
乾燥日数	拘束収縮ひずみ(×10 <sup>-6</sup> )					
和朱口奴	配合①	配合②	配合③			
0	0	0	0			
7	-215	-201	-59			
15	-362	-215	-138			
29	-464	-284	-224			
58		-289	-247			
91		-302	-283			
119		-328	-319			
175		-356	-325			
245		-358	-317			
311		-333	-309			
364		-331	-317			

図26 CEB式による乾燥収縮ひずみ

## 《⑤今本らによる提案式(外挿法)》

(今本啓一,石井寿美江,閑田徹志,百瀬晴基,藤森啓祐:短期データに基づくコンクリートの乾燥収縮ひずみ予測に関する研究,日本建築学会構造系論文集,第602号,pp. 15-20,2006)

前述の4つ推定式は、該当する短期測定の最遅データのみを用いて最終乾燥収縮ひずみを推定しているのに対して、外挿法は当該短期データすべてに対し CEB 式を用いて最終値を外挿推定し、双曲線により最小自乗近似し、最終乾燥収縮ひずみ推定値を得る方法である。(下図参照)



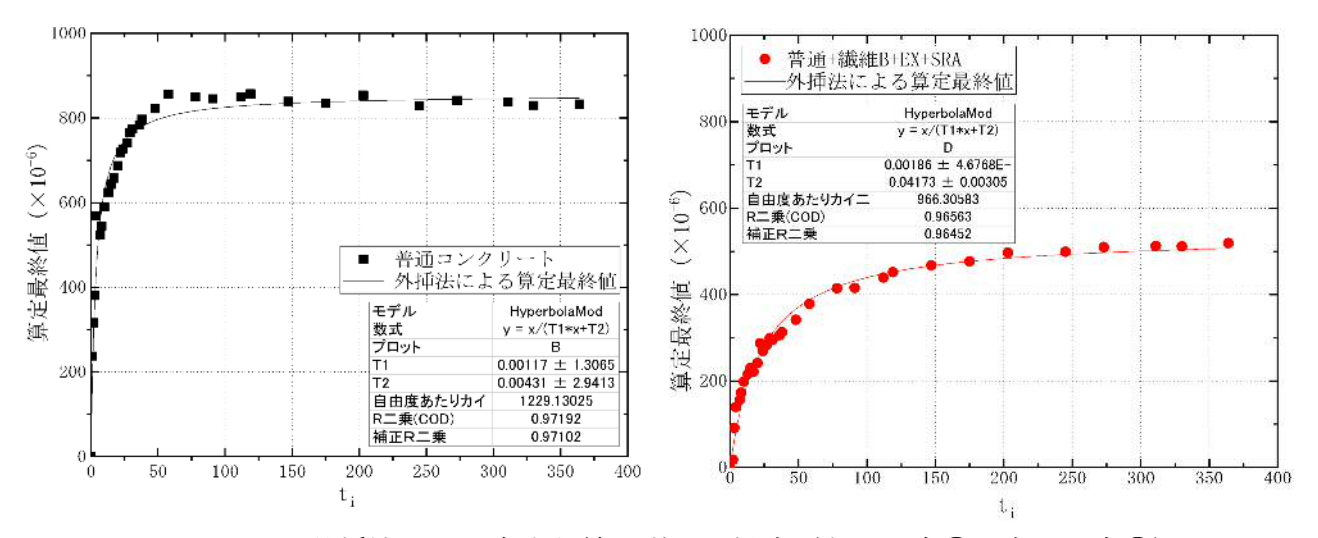


図27 外挿法による自由収縮ひずみ回帰式(左:配合①、右:配合②)

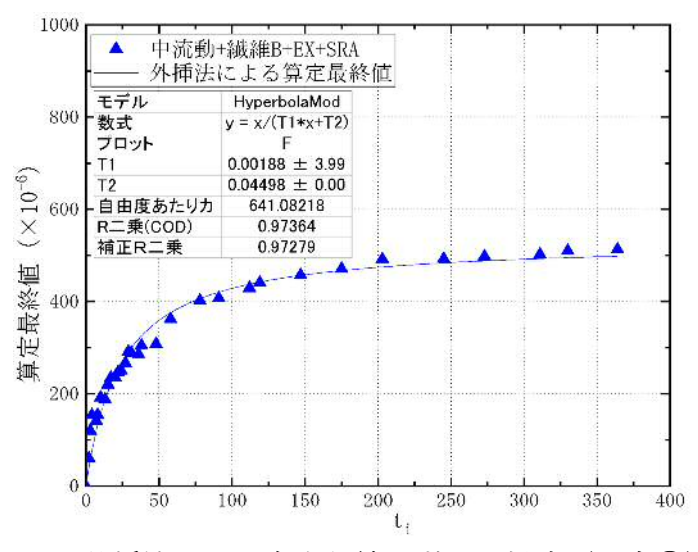


図28 外挿法による自由収縮ひずみ回帰式 (配合③)

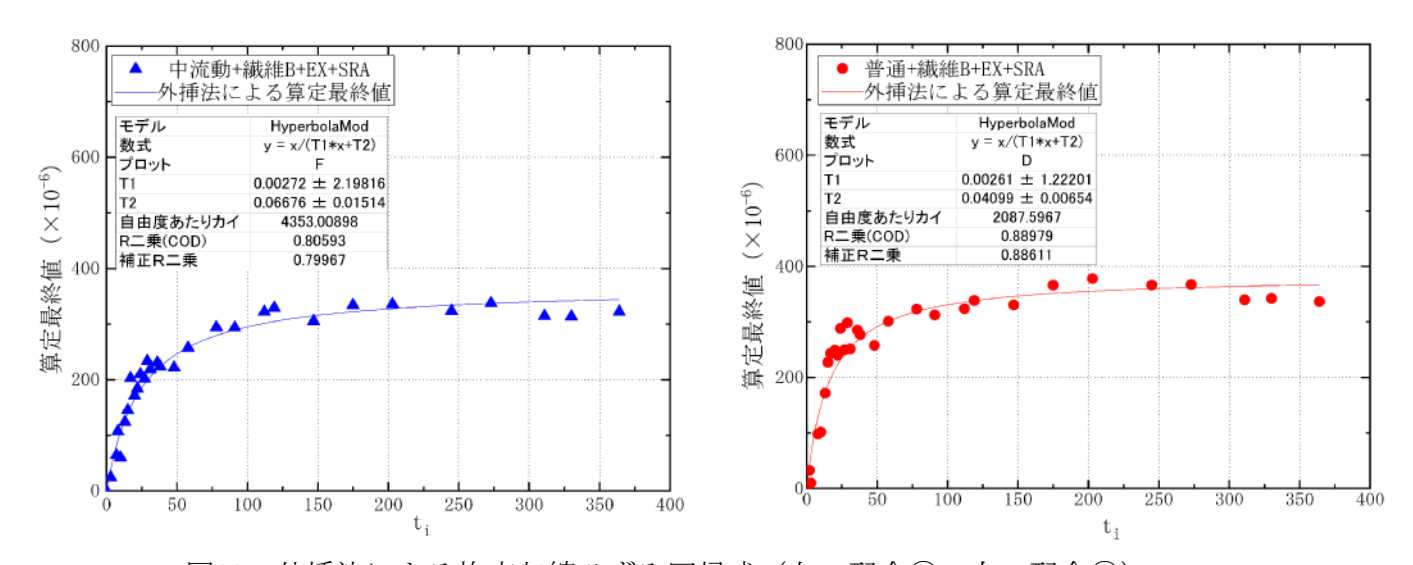


図29 外挿法による拘束収縮ひずみ回帰式(左:配合②、右:配合③)

回帰式より、超長期供用年として示される 200 年後のひずみ値の推定を行った。回帰式の漸近線である $\varepsilon_{dh\infty} = 1/b$ の値(最終乾燥収縮ひずみ値)は、乾燥日数 200 年後の推定ひずみ値(ti=73000 での推定値)とほとんど変わらない結果となった。

衣22 団神八による推定値								
区分	乾燥日数	自由収	自由収縮ひずみ (×10 <sup>-6</sup> )			宿ひずみ .0 <sup>-6</sup> )		
<b>□</b> / <b>√</b>	10/2/(11/2/(	配合①	配合②	配合③	配合②	配合③		
実測値	364 日後	-763	-476	-470	-282	-270		
回帰式に	364 日後	-846	-506	-499	-367	-344		
よる推定	200 年後	-855	-537	-532	-383	-368		
値	最終値	-855	-538	-532	-383	-368		

表22 回帰式による推定値

# 《⑥指数関数フィッティング法による回帰分析》

本研究で得られた実測値を基に、最小二乗法による回帰式を求める。得られた回帰式は以下のとおりである。

## 《自由収縮ひずみ》

配合①:  $\varepsilon$  ds(ts)=765e(-0.02ts)-765

配合②:  $\epsilon_{ds}$  ( $t_{s}$ ) =482e  $^{(-0.01t_{s})}$  -482 配合③:  $\epsilon_{ds}$  ( $t_{s}$ ) =479e  $^{(-0.02t_{s})}$  -479

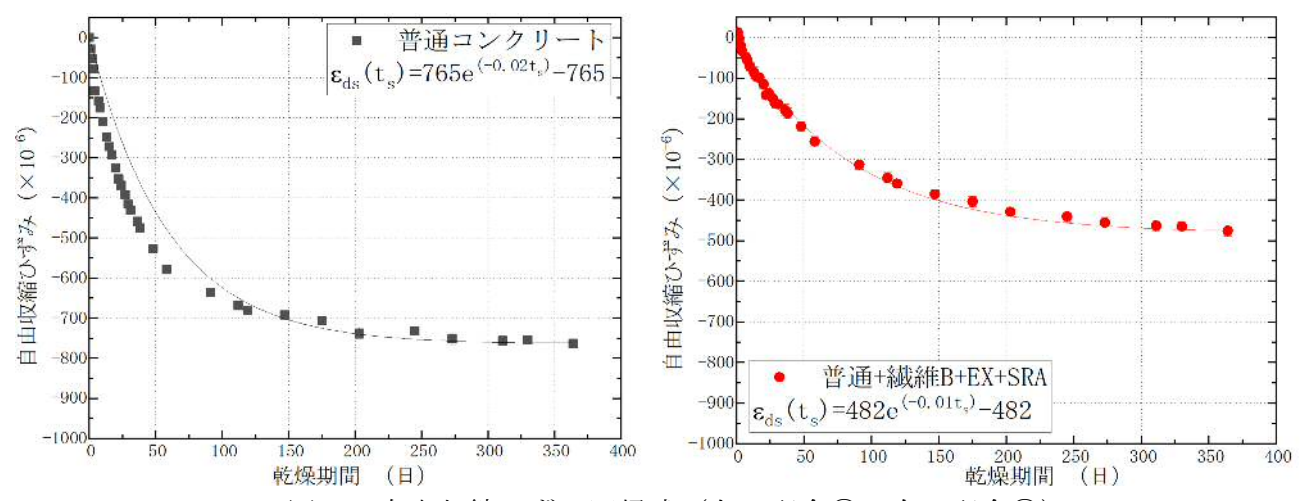


図30 自由収縮ひずみ回帰式(左:配合①、右:配合②)

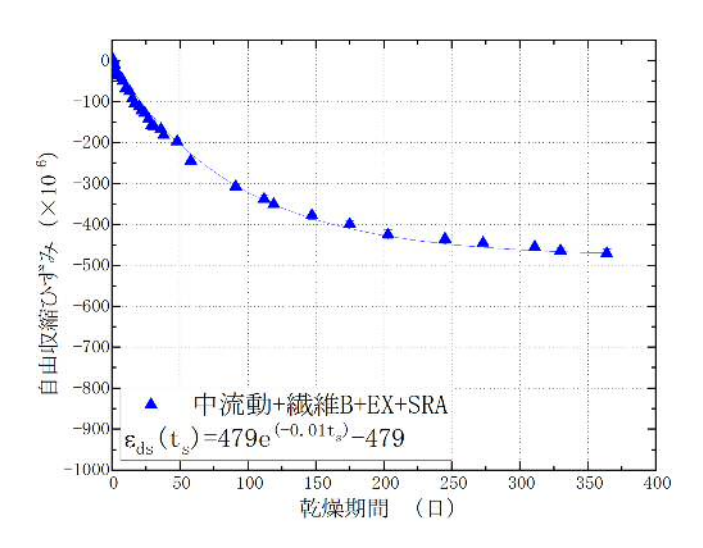


図31 自由収縮ひずみ回帰式(配合③)

## 《拘束収縮ひずみ》

配合②:  $\epsilon_{ds}$  (t<sub>s</sub>) =284e <sup>(-0.01t</sup><sub>s</sub>) -284 配合③:  $\epsilon_{ds}$  (t<sub>s</sub>) =272e <sup>(-0.01t</sup><sub>s</sub>) -272

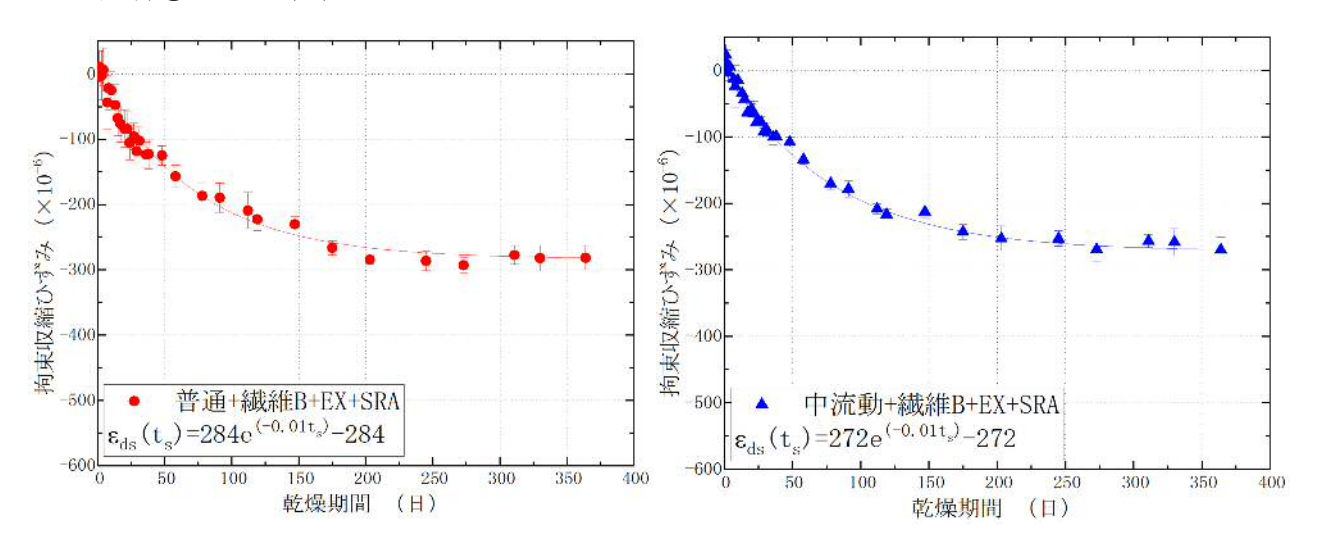


図32 拘束収縮ひずみ回帰式(左:配合②、右:配合③)

回帰式より、超長期供用年として示される 200 年後のひずみ値の推定を行った。回帰式の漸近値(最終乾燥収縮ひずみ値)は、乾燥日数 200 年後の推定ひずみ値(ts=73000 での推定値)と全く同じ結果となった。

拘束収縮ひずみ 自由収縮ひずみ (×10<sup>-6</sup>)  $(\times 10^{-6})$ 区分 乾燥日数 配合① 配合② 配合③ 配合② 配合③ 実測値 364 日後 -763-476-470-282-270364 日後 -764-469-466-277-265回帰式に 200 年後 -765-482-479-284-272よる推定値 最終値 -765-482-479-284-272

表23 回帰式による推定値

#### 2) ひび割れ発生時期の推定

## (a) ひび割れ発生条件となるひずみ値の設定

本研究では、超長期供用期間(およそ 200 年)、有害なひび割れ(幅 0.1mm以下)の発生が抑制されることを目標に乾燥収縮利率が  $400\,\mu$ 以下を当初からの指標と考えてきた。これは、コンクリート標準示方書において圧縮ひずみとして 3,500  $\mu$  が示されており、引張強度は圧縮強度の 1/10 であることから、3,500×1/10=  $350 = 400\,\mu$  によるものである。

しかし、「(1) 耐クラック性能を有するコンクリート ①拘束されたコンクリートの乾燥収縮ひび割れ試験(JIS A 1151:2011)」における自由収縮ひずみの測定結果では、いずれの配合も乾燥日数 364 日で  $470\sim760\,\mu$  と指標値の  $400\,\mu$  を超える自由収縮ひずみが計測されているにもかかわらず、すべての供試体でひび割れは確認されなかったことから、本研究条件におけるひび割れ発生時のひずみ値は  $760\,\mu$  よりも大きいと考えられる。

ここで、建築工事標準仕様書・同解説 (日本建築学会) によると、乾燥収縮率を  $800\,\mu$  以下とすることによって有害なひび割れが発生しないレベルにほぼ制御できる、とされていることから、ひび割れ発生時期推定に用いる自由収縮ひずみ値は  $[800\,\mu]$  と設定する。

## (b) ひび割れ発生時期の推定

200 年後の乾燥収縮ひずみ(自由収縮ひずみ)の推定結果は、下表のとおりである。 いずれの推定式においても、配合②及び配合③でひび割れ発生の指標値となる「 $800 \mu$ 」を大きく下回り、 $500 \mu$  前後の結果となっている。本研究のコンクリートは、超長期に渡って有害なひび割れを生じないコンクリートであることが確認できた。

<b>T7</b> A			自由収縮ひずみ(×10 <sup>-6</sup> )						
	配合	実測値	土木学会式	建築学会式	(改)建築学会式	CEBモデル	外挿法(200年)	回帰式(200年)	
配合①	普通コン	-763	-806	-834	-829	-850	-855	-765	
配合②	普通コン+混和材	-476	-503	-520	-517	-530	-537	-482	
配合③	中流動コン+混和材	-470	-496	-513	-511	-523	-532	-479	

表24 乾燥収縮ひずみ(自由収縮ひずみ)

#### (4) 施工に関する手引き(素案)の作成

本事業で検討した結果を基に、超長期ひび割れ抑制効果のあるコンクリートの配合例を提案し、施工現場への早期普及・拡大を図るため、施工に関する手引き(素案)を取りまとめた。

## 1. 7 実証試験(現場適用)の概要、結果、課題等

実証試験は、東播用水二期農業水利事業所で工事を予定している開水路区間にて現場 実証試験を実施した。

コンクリートは、以下の3ケースを対象とした。

配合①:普通コンクリート

配合②:普通コンクリート +PP 短繊維+収縮低減剤+膨張材

配合③:中流動コンクリート+PP 短繊維+収縮低減剤+膨張材

実証試験の実施手順は、以下のとおりである。

## 1)配合選定

3 ケースのコンクリートは,同一レディーミクストコンクリート工場(JIS 規格取得工場)の製品(同一骨材、セメント、混和剤等)を使用した。レディーミクストコンクリート工場内試験室で試験練りを実施し、運搬距離を考慮した配合を選定した。

#### 2) 実機試験

実機試験は、コンクリートの本打設に準じた機械配置、施工手順により、試験練りでの性状が得られることを確認するため実施した。

## 3) コンクリート本打設

コンクリートの本打設は、均しコンクリートを打設後、計測機器(ひずみ計、データロガー)を所定の位置に設置し、コンクリート本打設を行った。

本打設と同じコンクリートの供試体を作製し、材齢7日の圧縮強度試験(配合① ②③)及び曲げ靭性試験(配合②③)を実施した。

配合(1)2(3)のコンクリートは、次頁図のバレル(3) (4) (5) で各(4) でおいがい打設した。

配合①:バレル4(打設日:令和3年3月4日)

配合②:バレル5(打設日:令和3年3月11日)

配合③: バレル3 (打設日:令和3年3月12日)

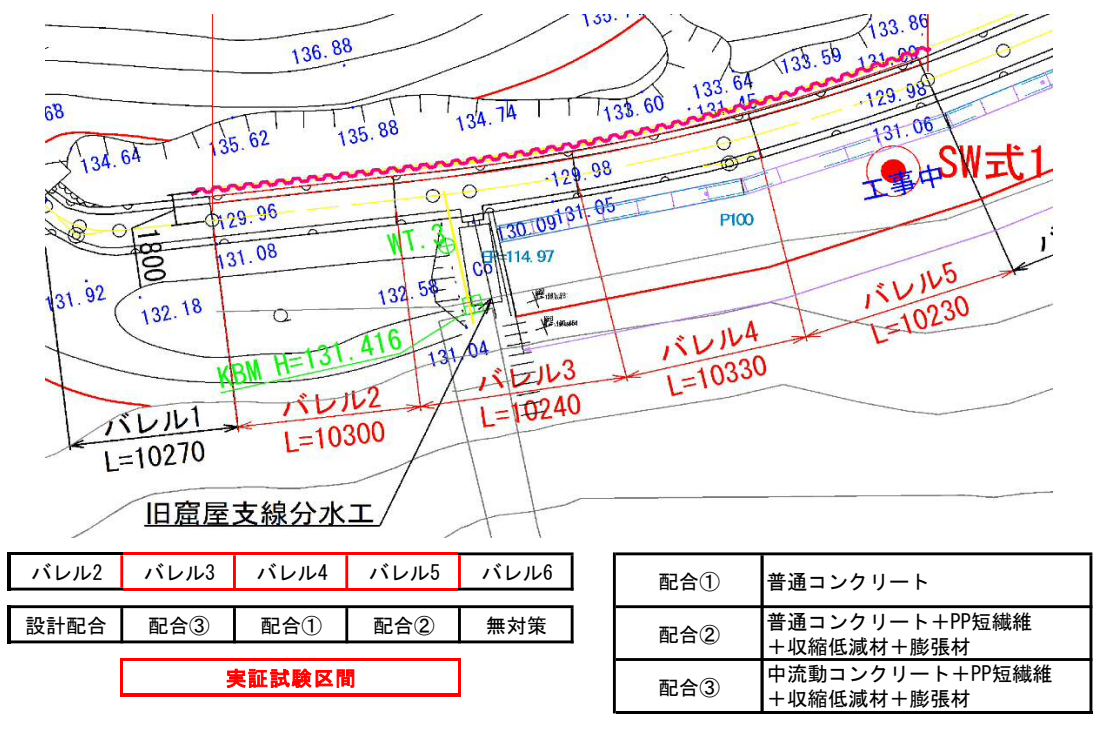
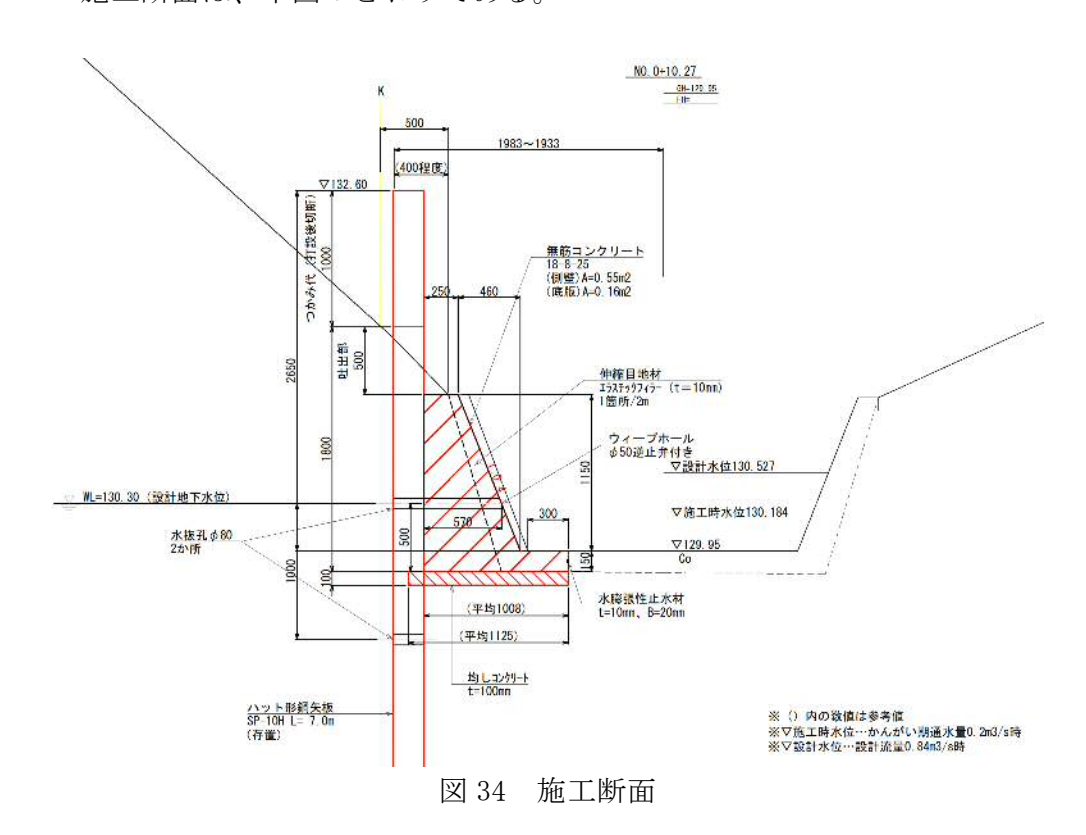


図 33 現場実証試験平面図

施工断面は、下図のとおりである。



# 1. 8 機能監視の概要、結果、課題等

機能監視は、コンクリート打設時において、下図に示す位置に埋設型ひずみ計を設置して、次頁図の監視計測システムにより、硬化過程における挙動測定、端部・中央、拘束・無拘束側のひずみ測定を行い、配合別、部位別の乾燥収縮ひび割れ抑制効果の定量的評価を行った。

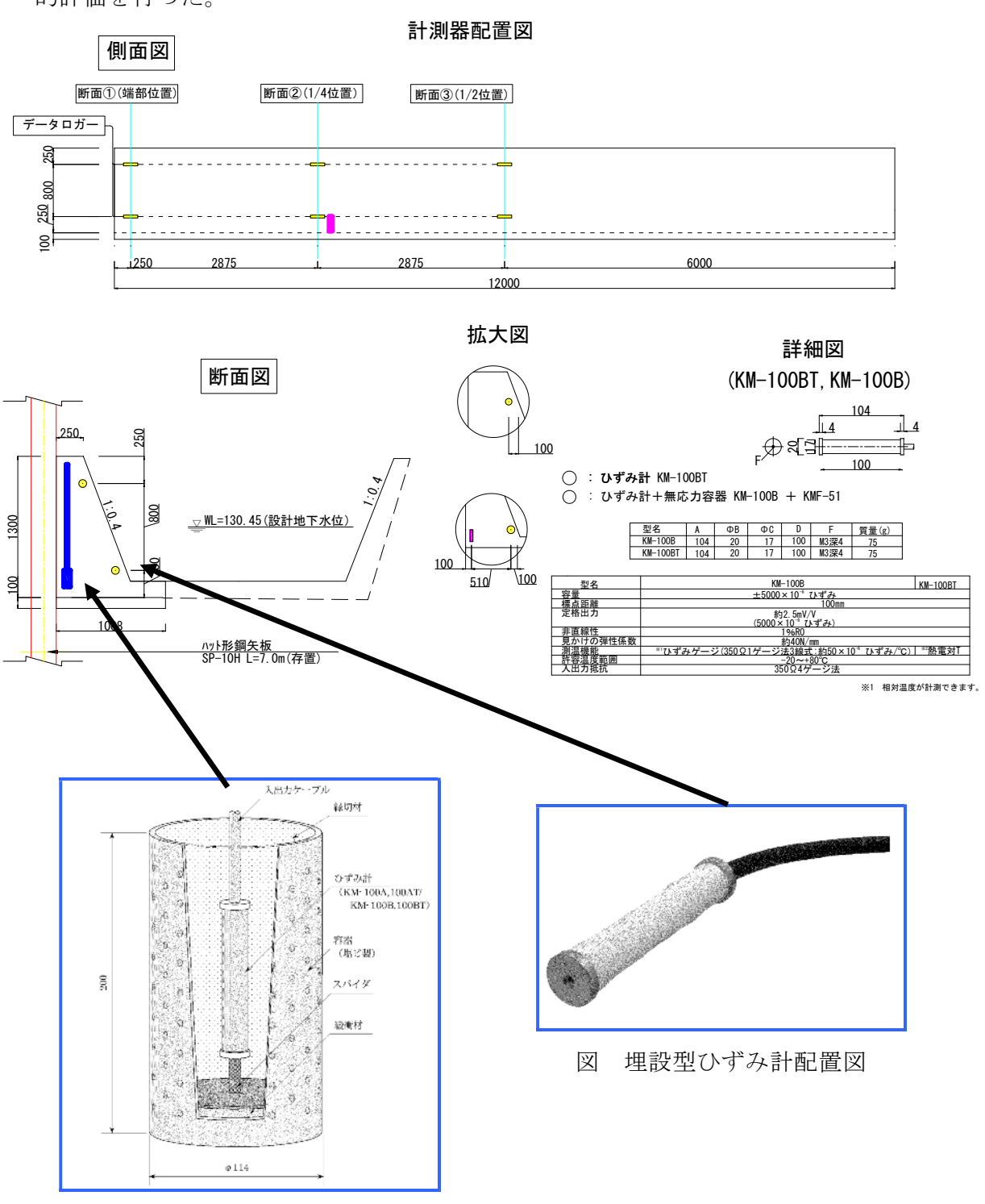


図 無応力配置図及び詳細図

図 35 埋設型ひずみ計設置予定図

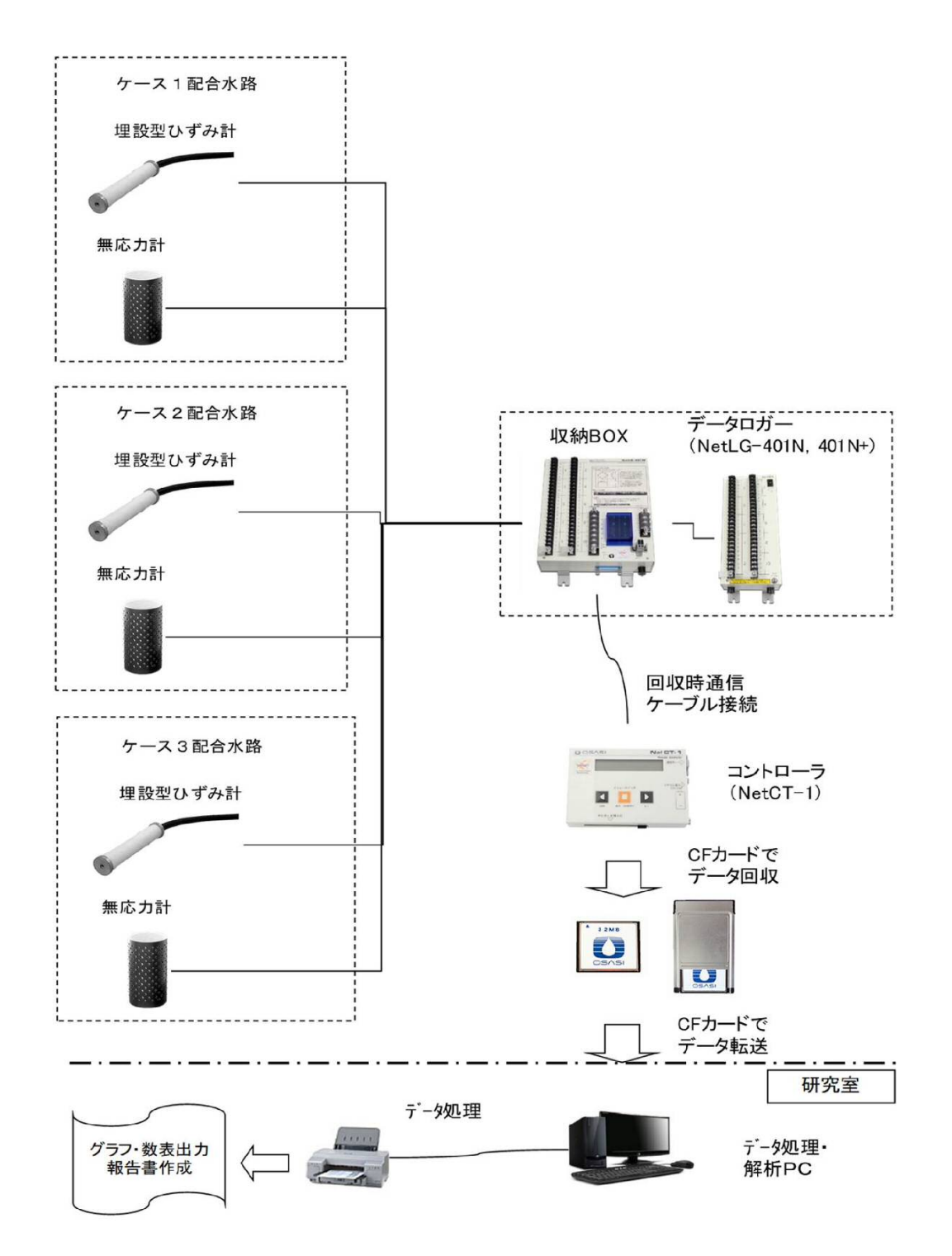


図36 監視計測システム図

ひずみ計測は、データロガーによって 1 時間間隔で計測した。計測期間は、コンクリート打設の令和 3 年 3 月 15 日から、データロガーを撤去する令和 4 年 3 月 18 日の直前まで、約 1 年間の計測データが得られた。

## 2 事業の効果

#### 2.1 成果の内容

- ①混和材料として、ポリプロピレン短繊維、膨張材、収縮低減剤を配合したコンクリートの性状に関する情報が得られた。
- ②コンクリートの乾燥ひずみの試験として,試験方法としてのリング試験の適用性に ついての知見が得られた。
- ③中流動コンクリートを土木へ適用する際のメリットやデメリットを明確にすることにより、中流動コンクリートの普及可能性が期待される。
- ④農政局、大学を含めた意見交換を通じて,新技術適用(中流動コンクリート、混和材料の適用、乾燥ひび割れ試験方法(リング試験)等の効果)に関し普及が図られた。
- ⑤「乾燥収縮ひび割れを抑制するための混和材料を配合した中流動コンクリートの施工の手引き」として取りまとめることにより、混和材料を配合したコンクリート施工の普及及び中流動コンクリート施工の普及が期待される。
- ⑥提案したコンクリートによる施設施工の普及により、水利施設の長寿命化が図られることが期待される。

## 2.2 目標の達成度

- (1) 成果から得られる効果
- ① 本研究では、農業水利施設に適用可能な超長期にわたり耐クラック性能を有し、且つ施工性の良いコンクリートの開発を目的とし、コンクリートに混和材料としてポリプロピレン短繊維、膨張材、収縮低減剤を配合し、硬化したコンクリートの性質を確認した。また施工性向上のため、中流動コンクリートに同様の混和材料を配合し、硬化したコンクリートの性質を確認した。(乾燥収縮ひび割れを抑制するための中流動コンクリートの開発)
- ② 普通コンクリート、普通コンクリートに混和材料を配合、中流動コンクリートに混和材料を配合した場合について、リング試験及び JIS A 1151 の拘束されたコンクリートの乾燥収縮ひび割れ試験等により、普通コンクリートに比べ、普通コンクリートの混和材料を配合、中流動コンクリートに混和材料を配合した場合は、ひび割れ発生時期がかなり遅くなることが試験では、確認された。
- ③ 現場実証試験では、普通コンクリートに対し、中流動コンクリートの打設時間が短くなることが確認された。

#### (2) 従来技術との比較

1) 比較する従来技術

従来の一般的な土木材料である普通コンクリートを従来技術とした。

2) 従来技術に対する優位性

①経済性

イニシャルコストを比較した場合、混和材料やコンクリートの材料費が 高価となるため割高となる。しかし、超長期供用期間(およそ 200 年)のひ び割れ補修工事が不要となるため、ランニングコストを含めた対策費用は、 従来工法より安価となる(次頁表参照)。

#### 表25 配合①及び配合③のコスト比較(イニシャルコスト+ランニングコスト)

ランニングコスト イニシャル 合計 配合 項目 コスト ひび割れ ひび割れ 200年間の 補修費 A + BA (円) 延長 補修回数 B (円) (m/m3) (円/m) 普通コンクリート 20,005 1.29 6,000 61,920 (1) 81,925 中流動コンクリート (3) +PP領繊維+膨張材 31,692 31,692 +収縮低減剤

注) ひび割れ延長は、水路内面積 1m<sup>2</sup> 当り 50 cmのひび割れ発生を想定した延長である。

## ②工程

混和材料(PP 短繊維+膨張材+収縮低減材)を配合したコンクリートは、 生コン工場では標準品として登録されていない。このため、コンクリート 本打設の前に現場試験練り及び実機試験を行う必要があり、従来工法より 工程は増加する。

しかし、中流動コンクリートは、流動性が良いため、コンクリートの打 設時間が短縮される。

#### ③品質

従来技術に比較して、長期の耐クラック性能を有するコンクリートとなる。

#### ④安全性

材令 28 日時点の圧縮強度は、従来技術に比べ若干低い値となる傾向がある、しかし、繊維補強コンクリートの一般的な傾向であり、安全性に問題はない。

## ⑤施工性

従来工法と比較して、コンクリートの打設時間が若干短縮するが確認された。しかし、中流動コンクリートの特徴として、型枠補強が必要となることが想定される。

#### ⑥周辺環境への影響

従来工法と同様である。

#### 2. 3 成果の利用に当たっての適用範囲・留意点

#### (1)適用範囲

- ・殆どの無筋コンクリートに対し、適用が可能である。
- ・鉄筋コンクリートへの適用も可能と考える(ただし、本研究の範囲外となる。)。
- ・中流動コンクリートは、施設形状が直線とならない場合に対して施工上有利となることが考えられる。(流動性が従来技術に比べ向上)

## (2)留意点

- ・中流動コンクリート施工では、コンクリート本打設の前に実機試験が必要となる。
- ・中流動コンクリート施工の場合は、型枠の補強について検討が必要となる。

## 3 普及活動計画

- 3. 1 想定される利用者
  - ・設計、工事発注段階では、発注者、設計コンサルタント、農業水利施設造成事業者 (国、県等地方自治体)
  - ・施工段階では、建設会社
  - ・研究段階では、大学, 研究機関
  - ・技術開発段階では、素材メーカー
- 3. 2 利用者への普及啓発等の方法
  - ・「乾燥収縮ひび割れを抑制するための混和材料を配合した中流動コンクリートの 施工の手引き」として取りまとめ、公表する。
  - ・農業土木事業協会等主催の新技術研修会を利用した広報活動を行う。
  - ・農業土木学会等へ、技術報文として投稿する。
  - ・農林水産省のホームページに詳細なデータも含め報告書として掲載 →研究機関の基礎資料としての活用が期待される。
- 3.3 利用者に対するサポート体制、参考資料等
  - ・混和材料(特に短繊維)に関して、材料選定の考え方、使用方法等に関するサポートを行う。
  - ・施工方法に関して、設計段階における材料採用の適否、現場諸条件による問題点の 事前抽出,施工方法の段階におけるサポートを行う。
- 3. 4 特許・実用新案等の申請予定
  - ・農業水利施設保全補修ガイドブックへの登録を検討している。

# 4 研究総括者による自己評価

審査のポイント	着眼点	申請時 申請時 計画目標 <sup>注1</sup>	自己評価注2	自己評価 の理由 <sup>注3</sup>			
目標の	・効果 (従来技術に 対する優位性)	<ul><li>・耐クラック性能を有するコンクリート</li><li>・施工性能を考慮したコンクリート</li></ul>	<ul><li>④:優れている</li><li>B:概ね妥当</li><li>C:不十分</li></ul>	・従来工法と比較して、 ・従来で、 を生をせ、 を関いの がの短縮を図る コンクリート を開発した。			
達成度	・信頼性 (品質、精度、安 全性、耐久性等)	・耐クラック性能 を有するコン クリート	<ul><li>④:優れている</li><li>B:概ね妥当</li><li>C:不十分</li></ul>	・ひび割れに対 して高耐久性 のコンクリー トを開発し た。			
	・適用範囲・適用 条件等	・無筋コンクリート構造物	<ul><li>A: 広範囲に適用</li><li>B: 概ね妥当</li><li>C:限定的</li></ul>	<ul><li>・殆どの無筋コンクリートに適用可能</li></ul>			
普及の可能は	・想定される利用 者への普及啓 発の方法	農政局、事業所、 大学を含めて勉 強会や意見交換 を実施予定であ る。	<ul><li></li></ul>	・農業農村工学 会への報文投 稿、学会発表 を行い技術の 普及啓発に取 り組んだ。			
可能性	<ul><li>・利用者に対する サポート体制 (設計・積算・施 工等の参考資料、 相談窓口等)</li></ul>		A:十分に整備されている B: 概ね妥当 C: 改善が必要	<ul><li>・施工の手引きを作成し、公表する。</li></ul>			
総 合 コ メント <sub>注4</sub>	相談窓口等)						

- 注1) 成果報告書に記載の研究開発目標を記載する。
- 注2) 評価結果欄は、 $A \cdot B \cdot C$ のうち「A」を最高点、「C」を最低点として3段階で記入( $\bigcirc$ 付け)する。
- 注3) 自己評価の理由を記載する。
- 注4)総合的なコメントを記載する。

- 5 今後の課題及び改善方針
- ・鉄筋コンクリートへの適用条件は現時点では不明であり、今後の研究が必要である。
- ・中流動コンクリートへの理解の普及が必要である。
- ・現場実証試験における長期継続観測の実施により、実用面での性能がさらに明らかにされる。